

Program EVALPLOT
(Version 2018-1)

by

Dermott E. Cullen
(Present Contact Information)

Dermott E. Cullen
1466 Hudson Way
Livermore, CA 94550
U.S.A.

Tele: 925-443-1911

E.Mail: redcullen1@comcast.net

Web: redcullen1.net/HOMEPAGE.NEW

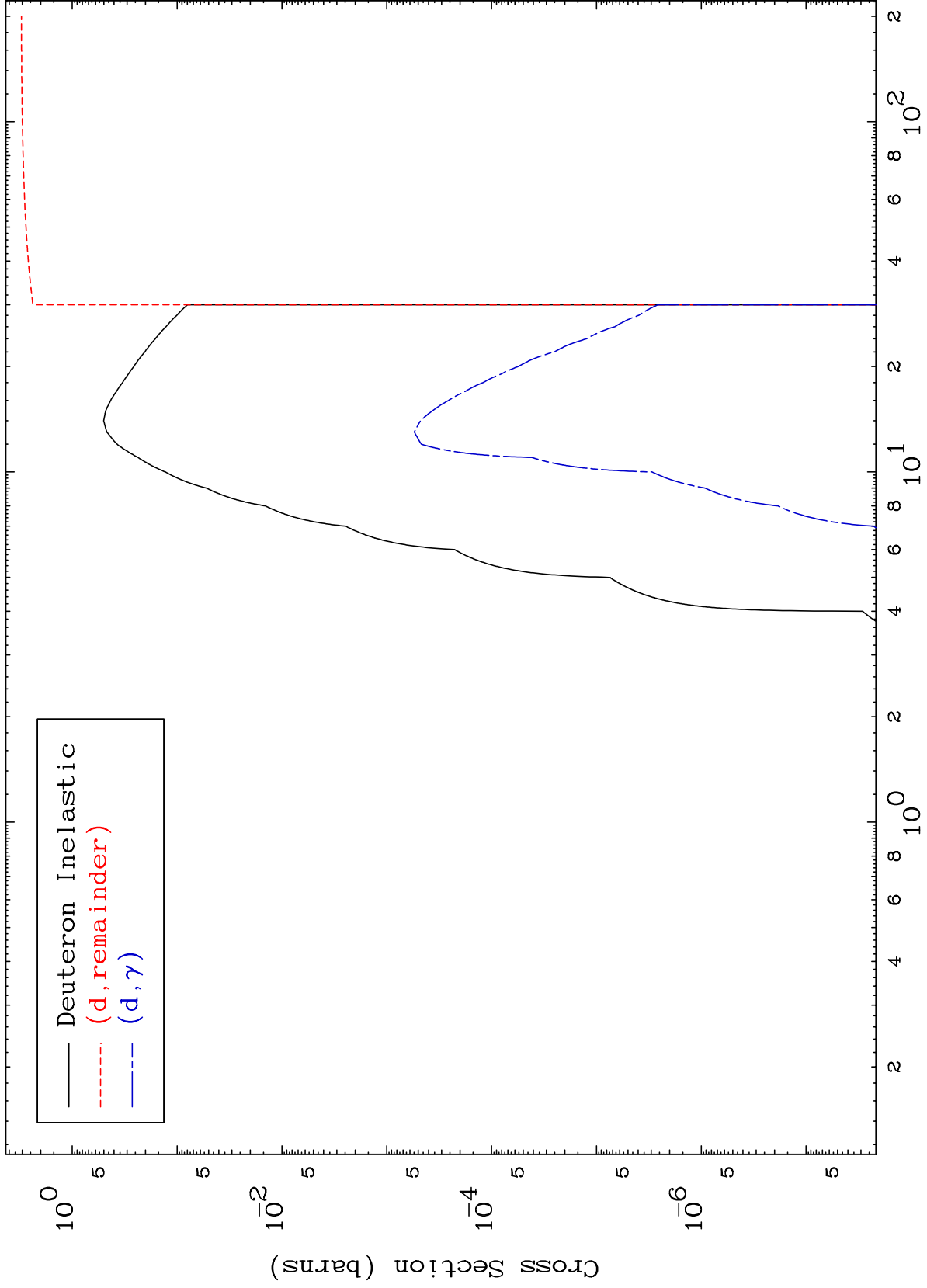
Press Mouse Button to Start

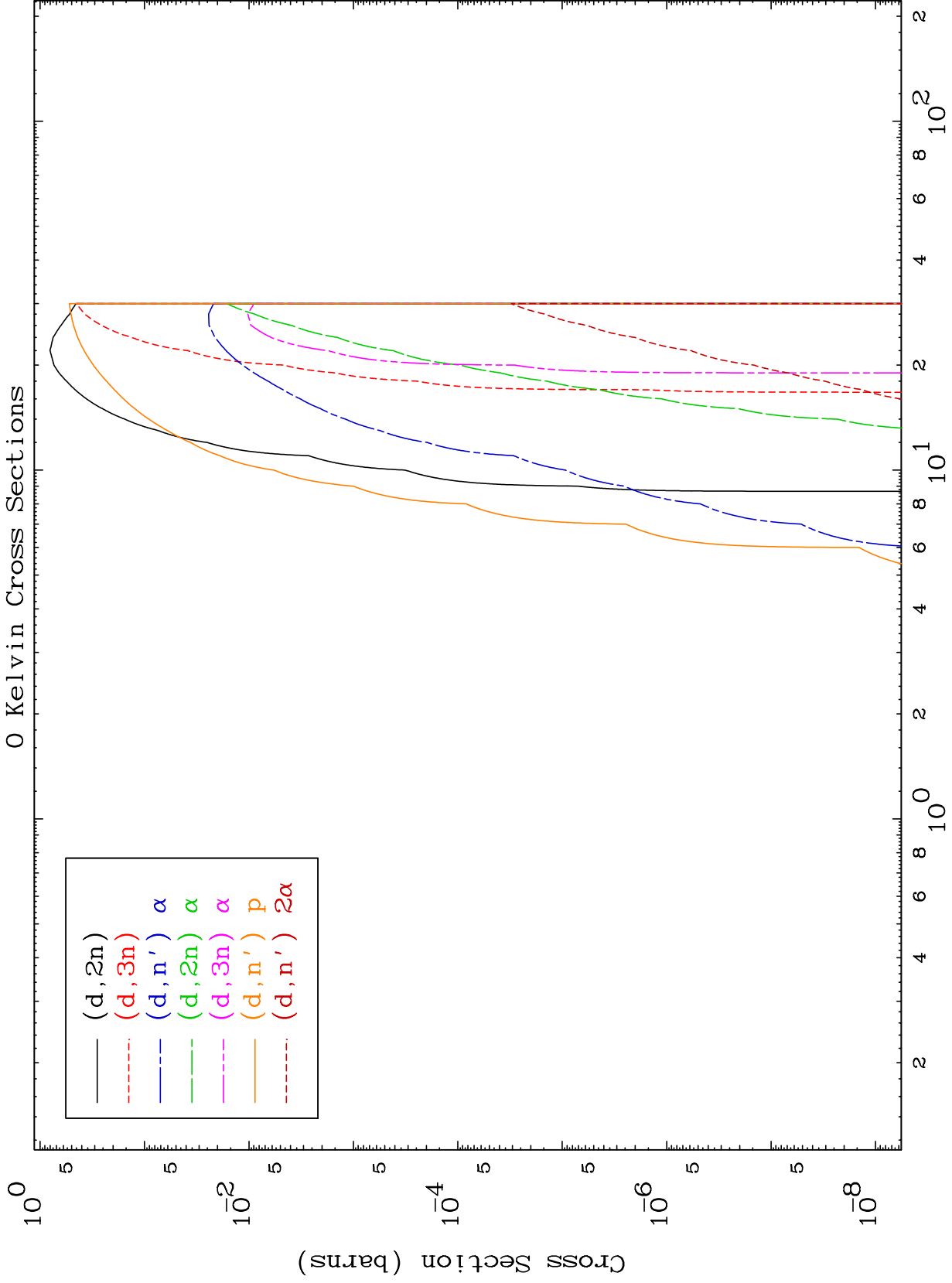
MAT 8090

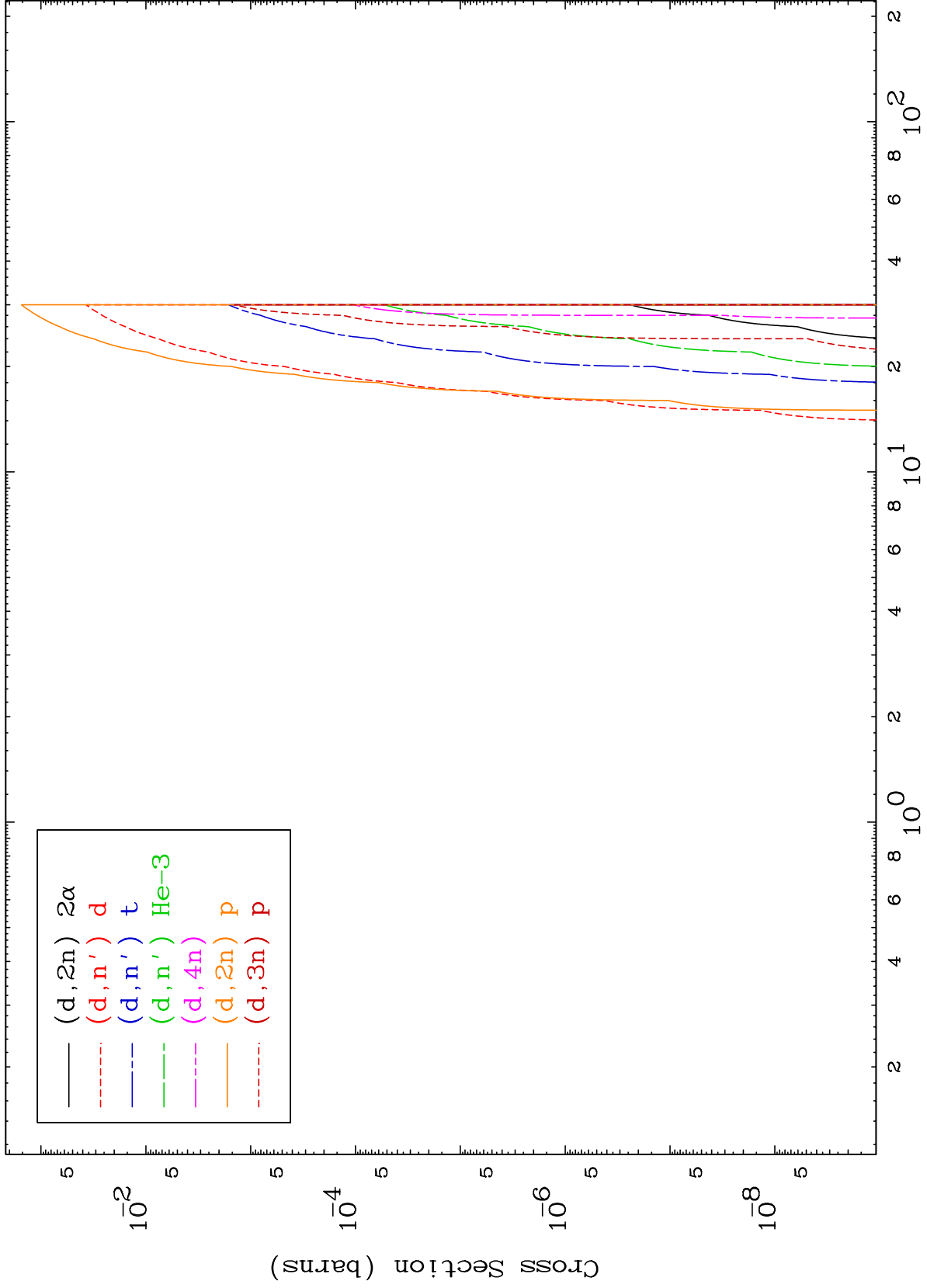
Deuteron Major

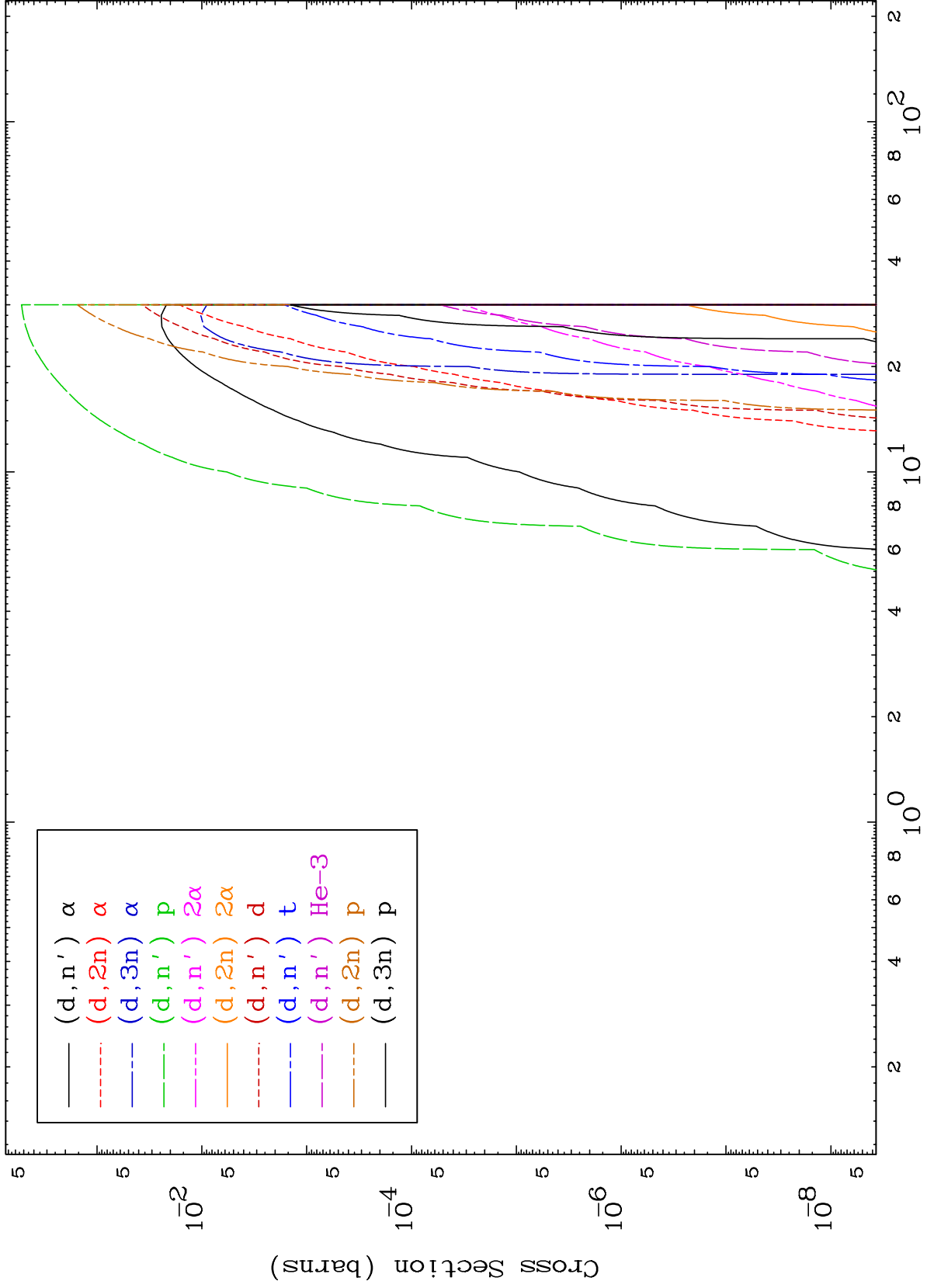
81-T1-191

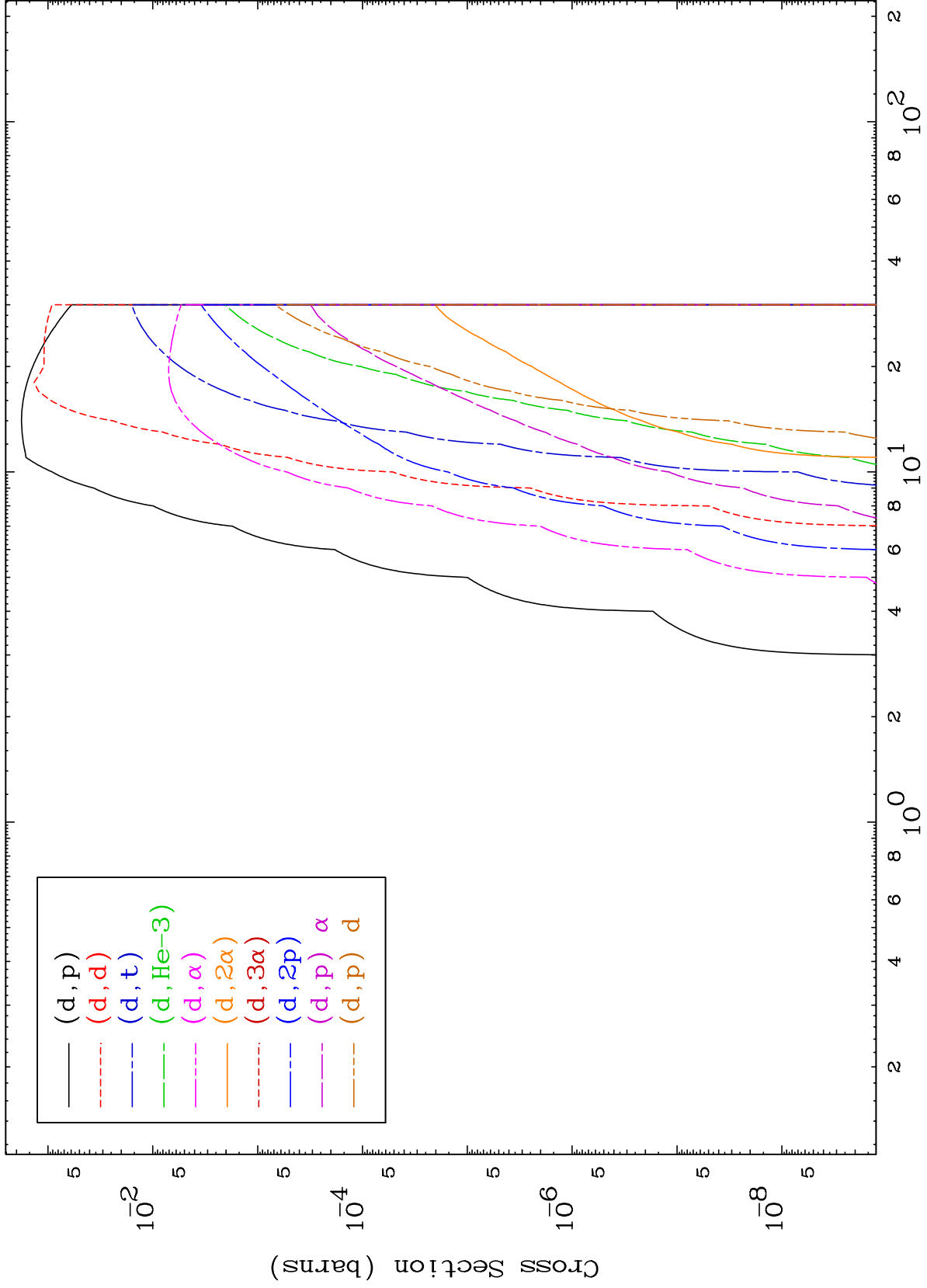
0 Kelvin Cross Sections









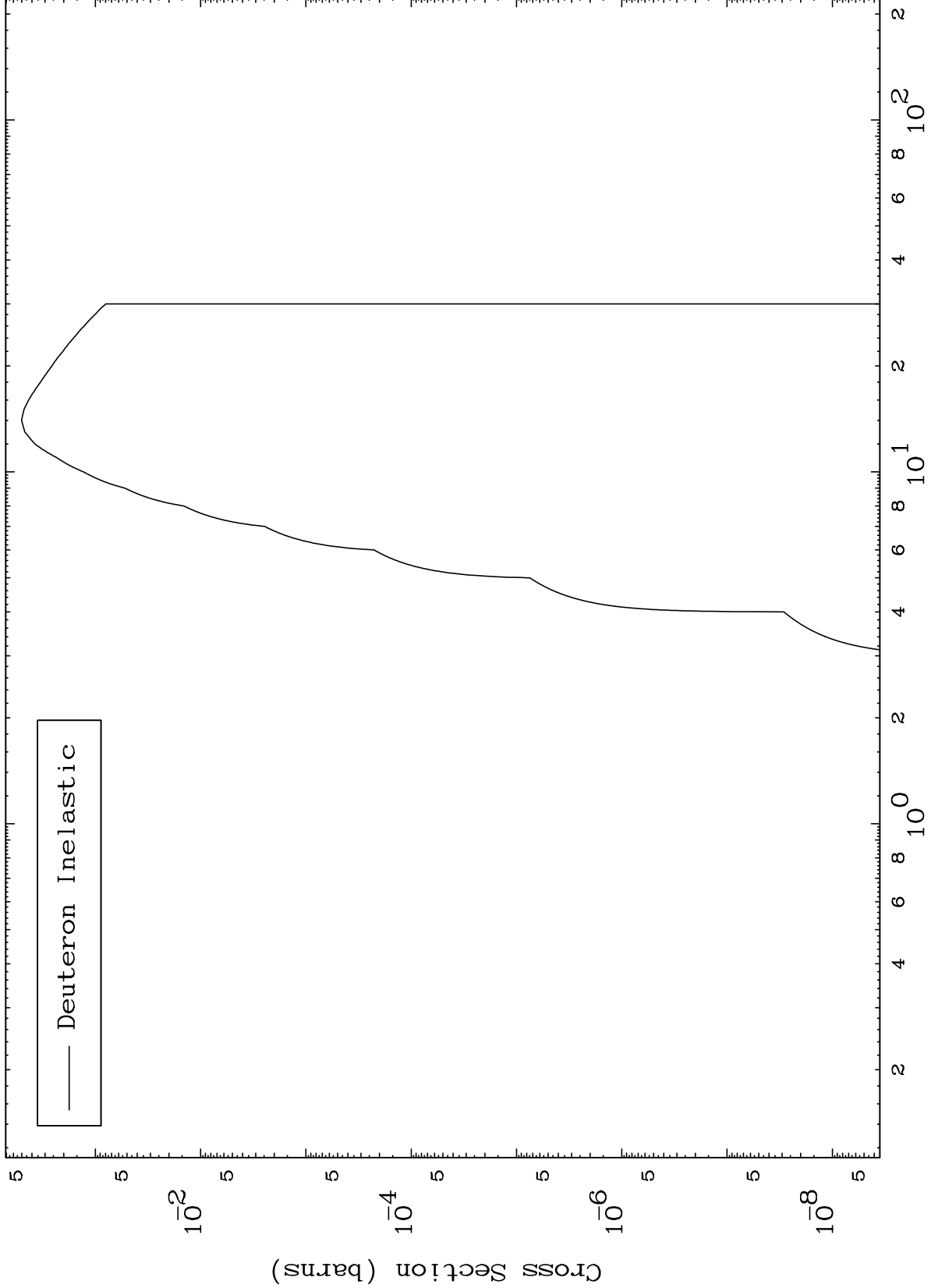


MAT 8090

(d,n') Level

81-Tl-191

0 Kelvin Cross Sections

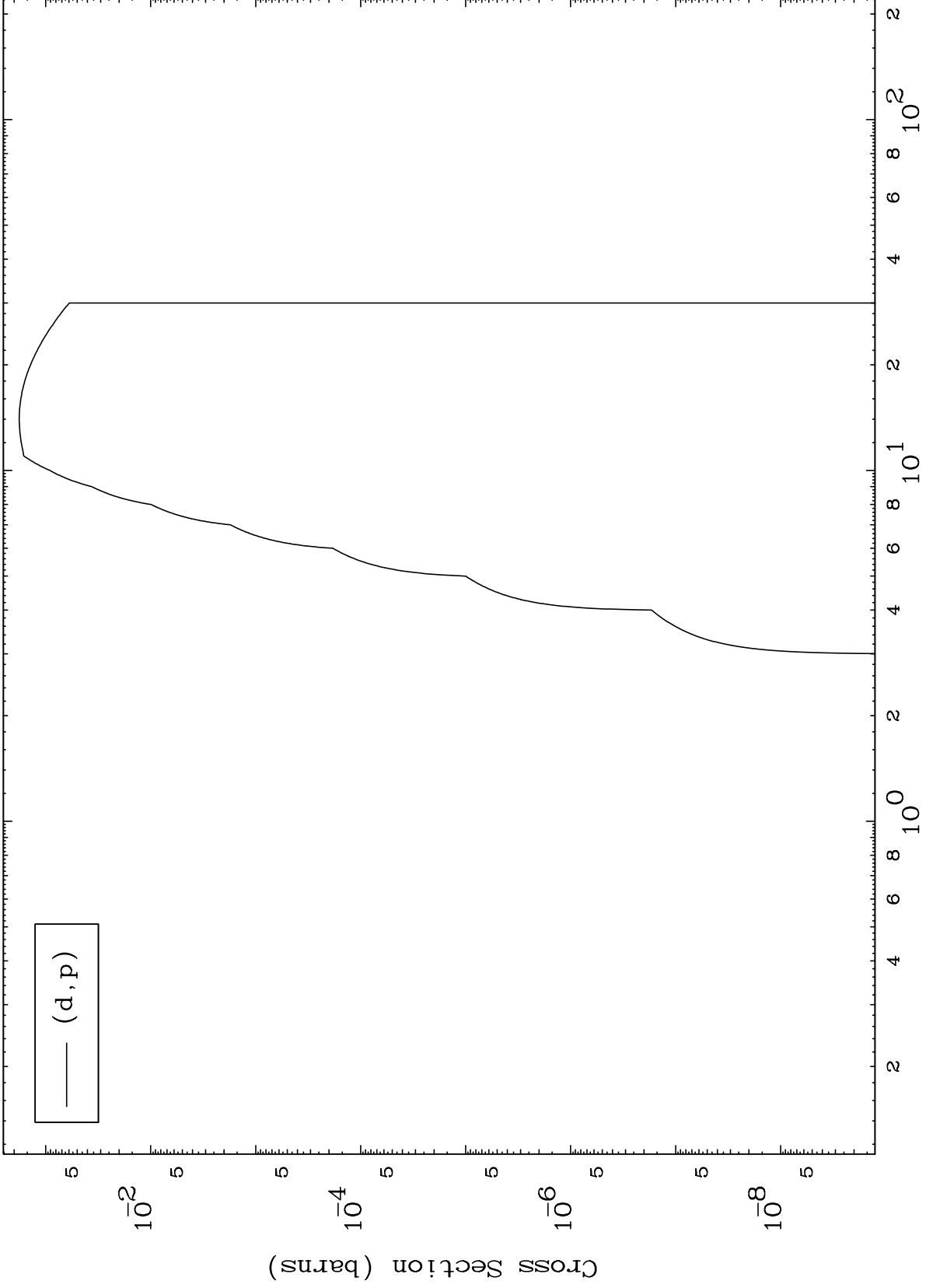


MAT 8090

(d,p) Levels

81-Tl-191

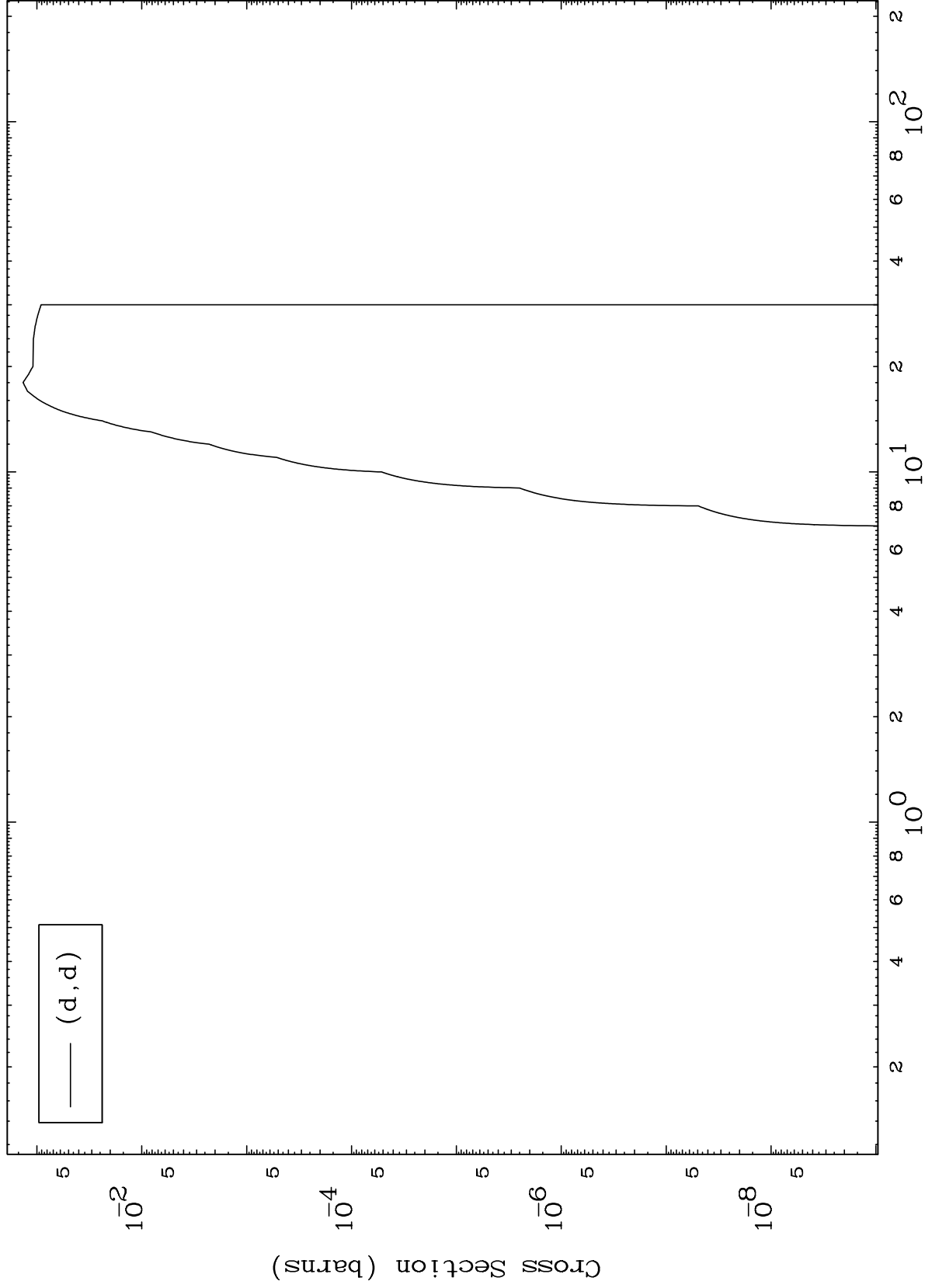
0 Kelvin Cross Sections



MAT 8090

81-Tl-191

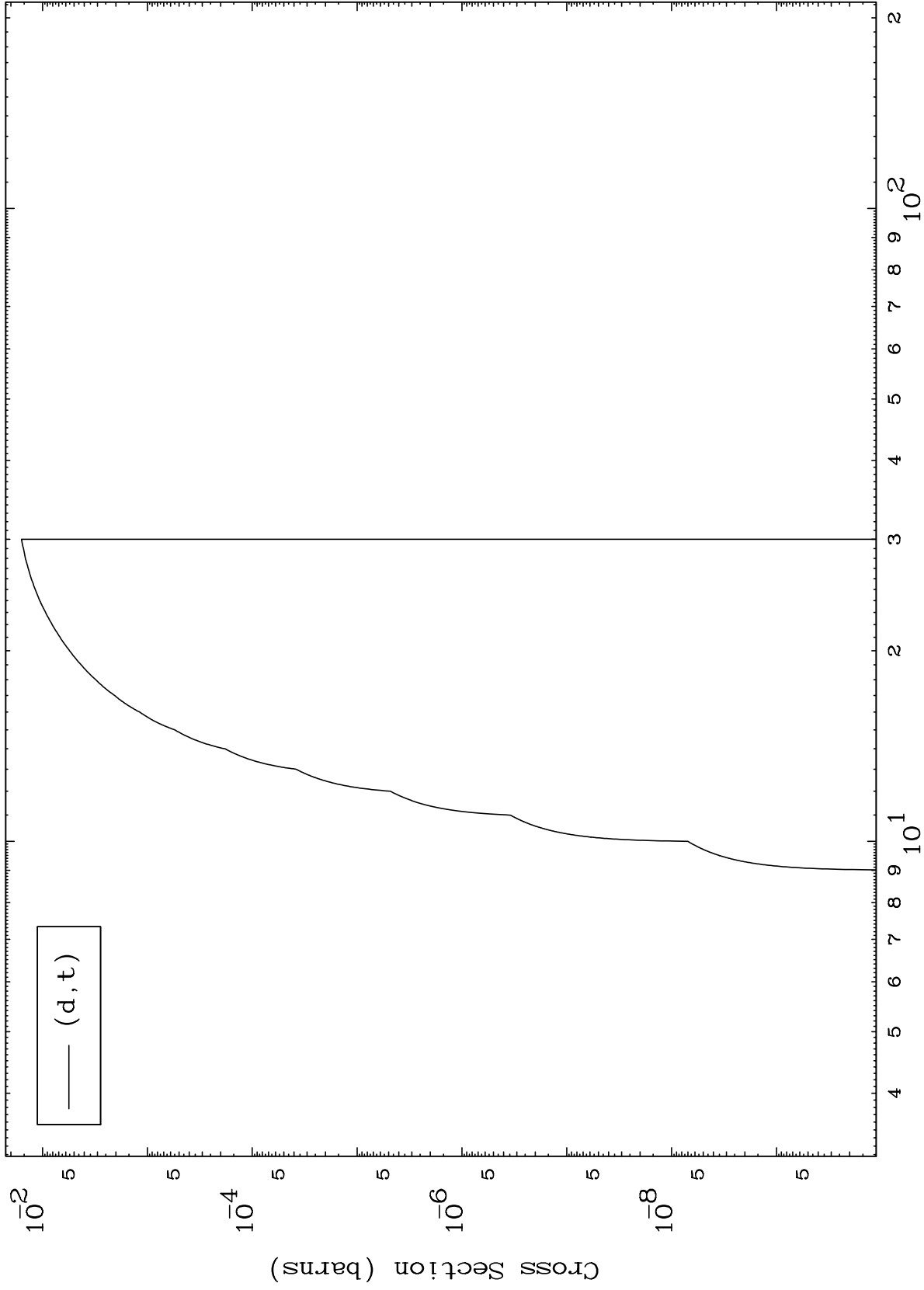
(d,d) Levels
0 Kelvin Cross Sections



MAT 8090

(d,t) Levels
0 Kelvin Cross Sections

81-Tl-191



9

Incident Energy (MeV)

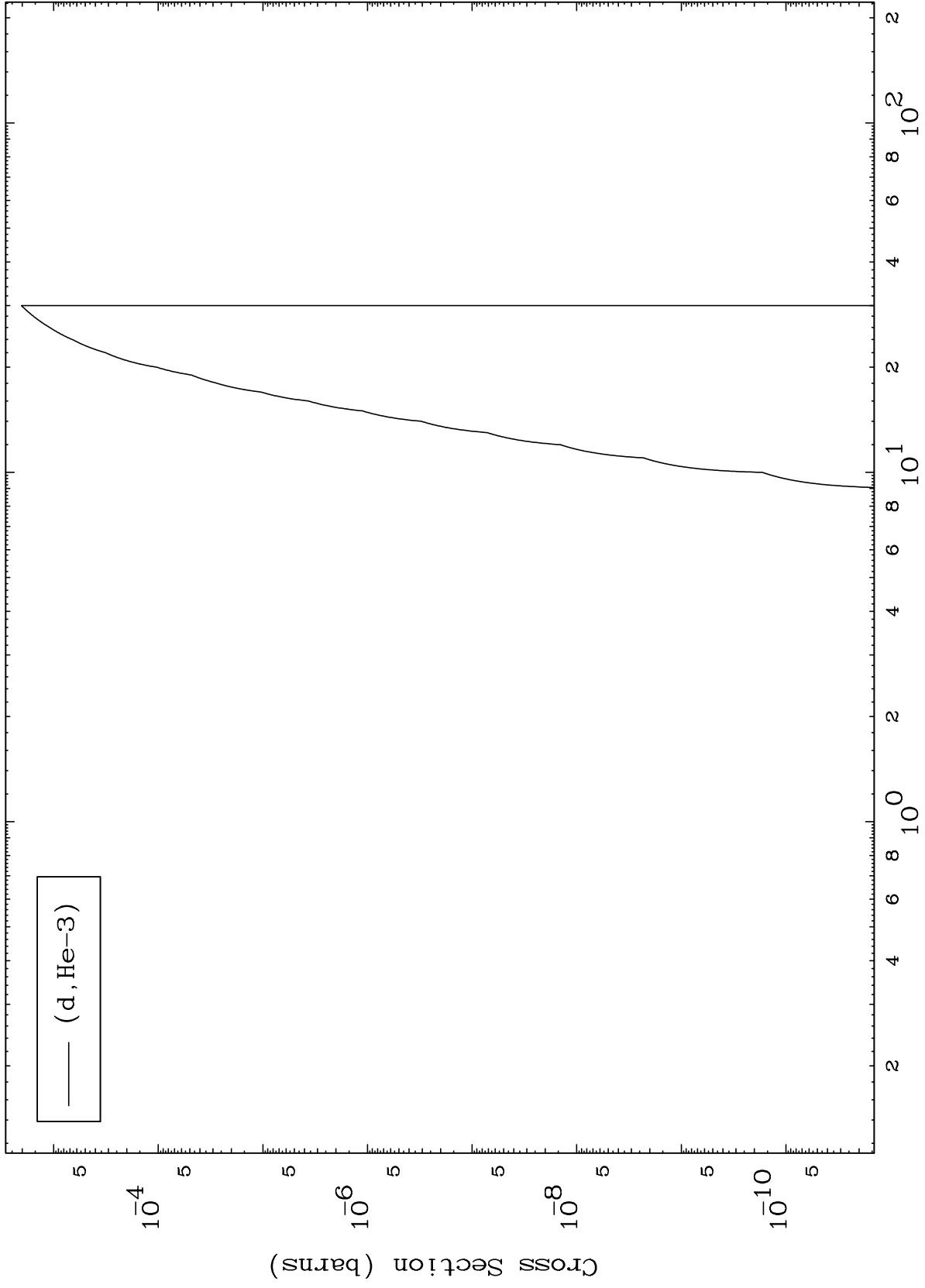
81-Tl-191

MAT 8090

(d,He3) Levels

81-Tl-191

0 Kelvin Cross Sections



(d, He-3)

10

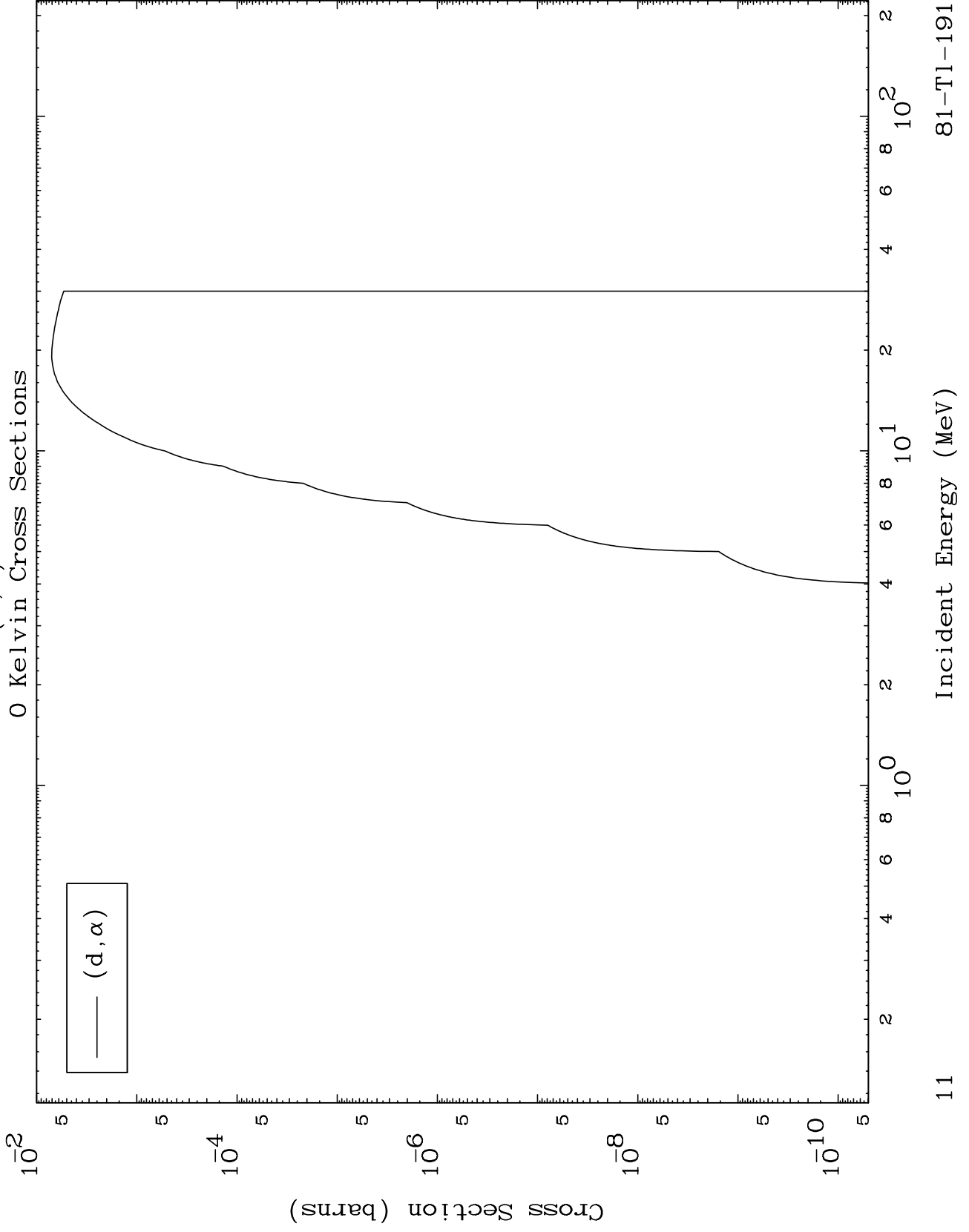
Incident Energy (MeV)

81-Tl-191

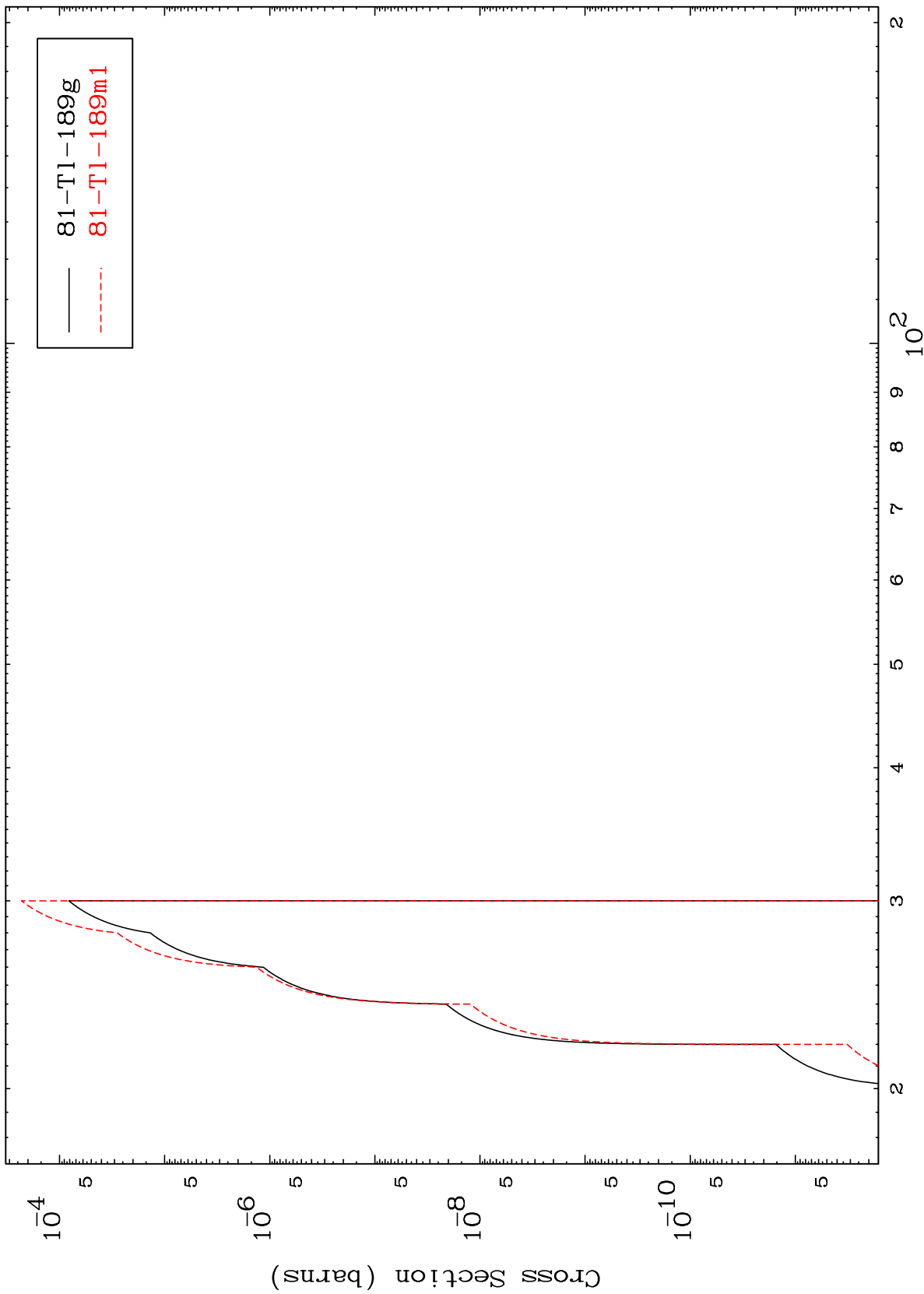
MAT 8090

(d, α) Levels

81-Tl-191



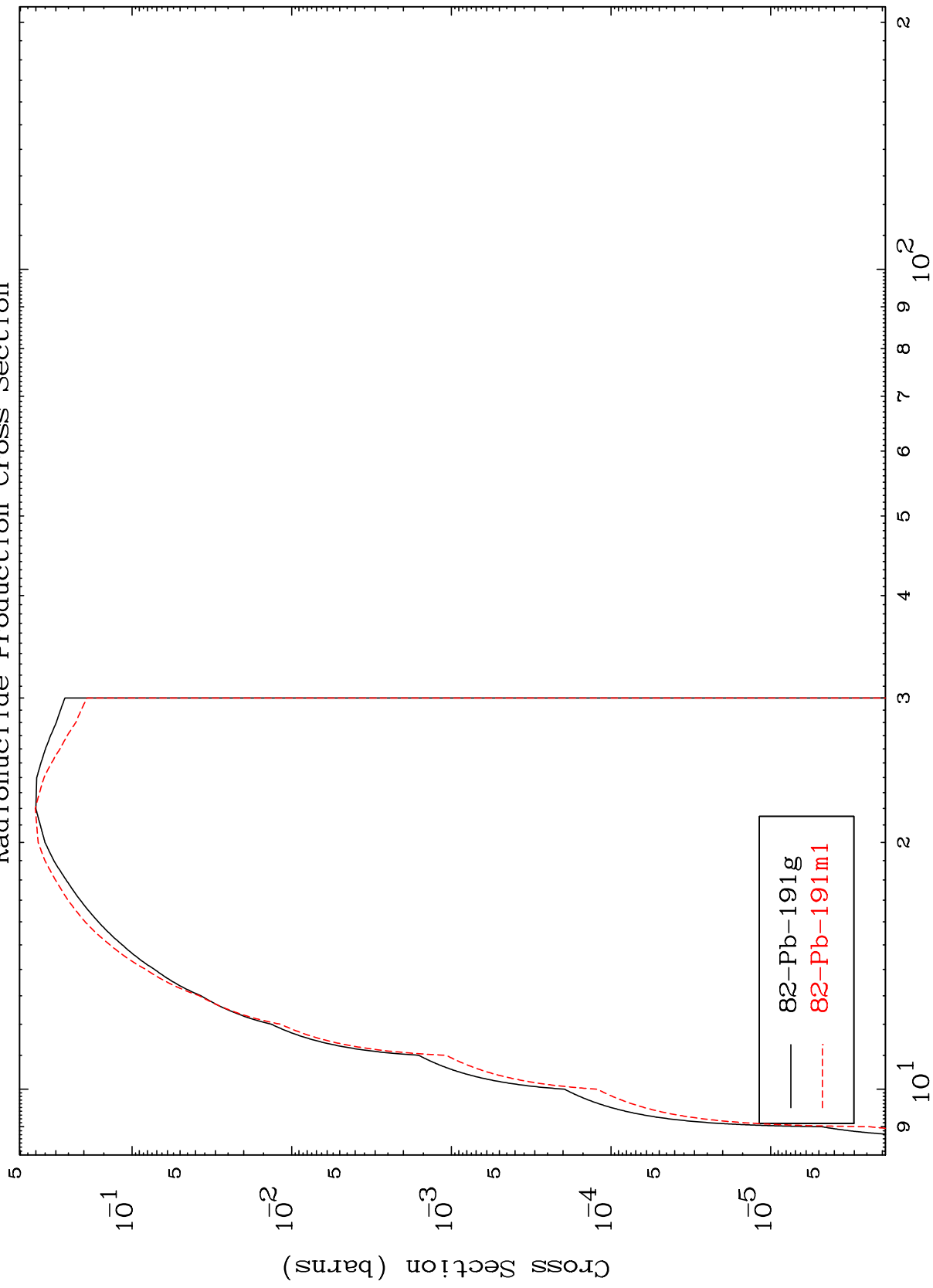
Radionuclide Production Cross Section



MAT 8090

81-Tl-191

Radionuclide Production Cross Section
(d,2n)



81-Tl-191

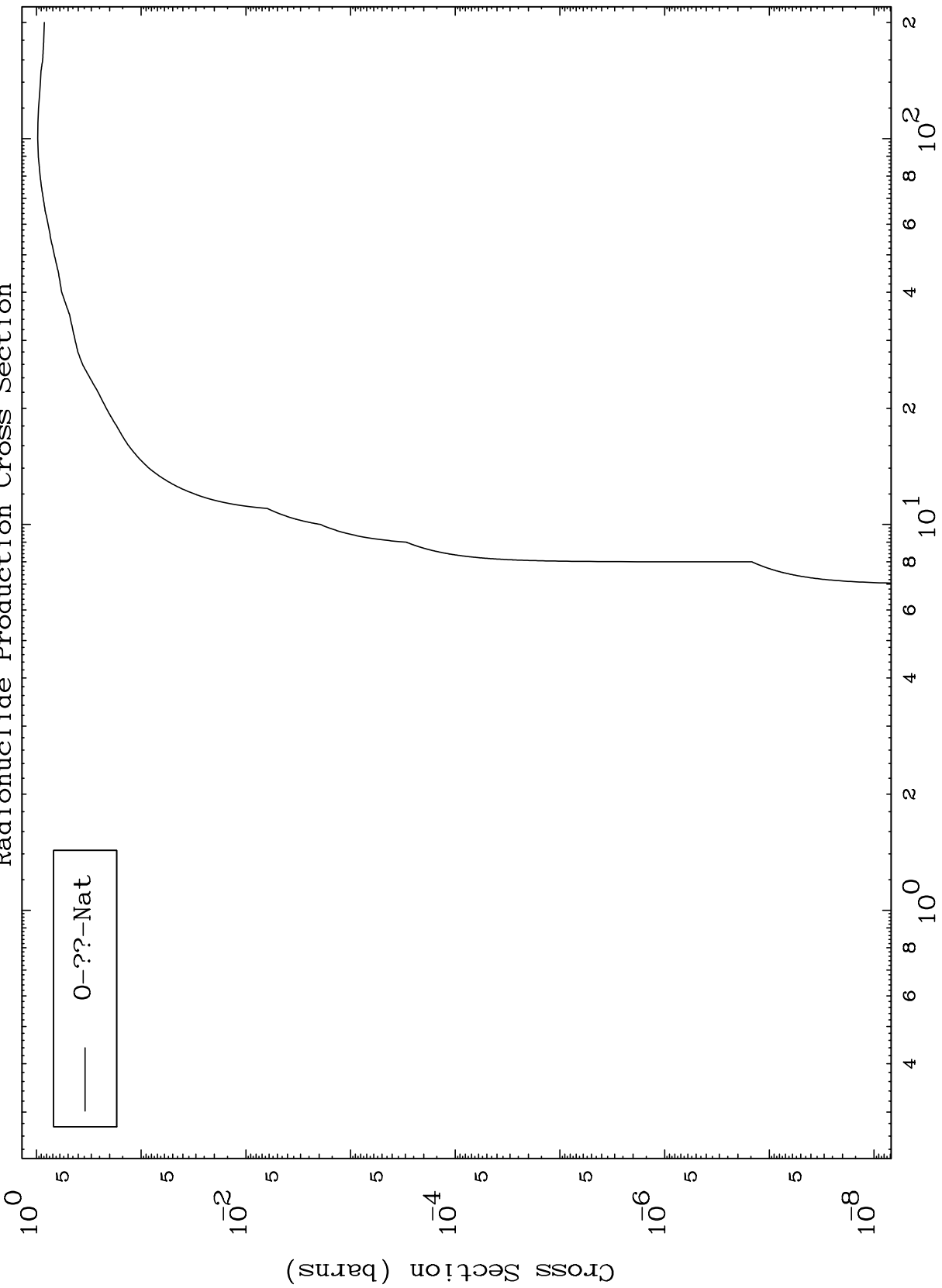
Incident Energy (MeV)

13

MAT 8090

81-Tl-191

Deuteron Fission
Radionuclide Production Cross Section



14

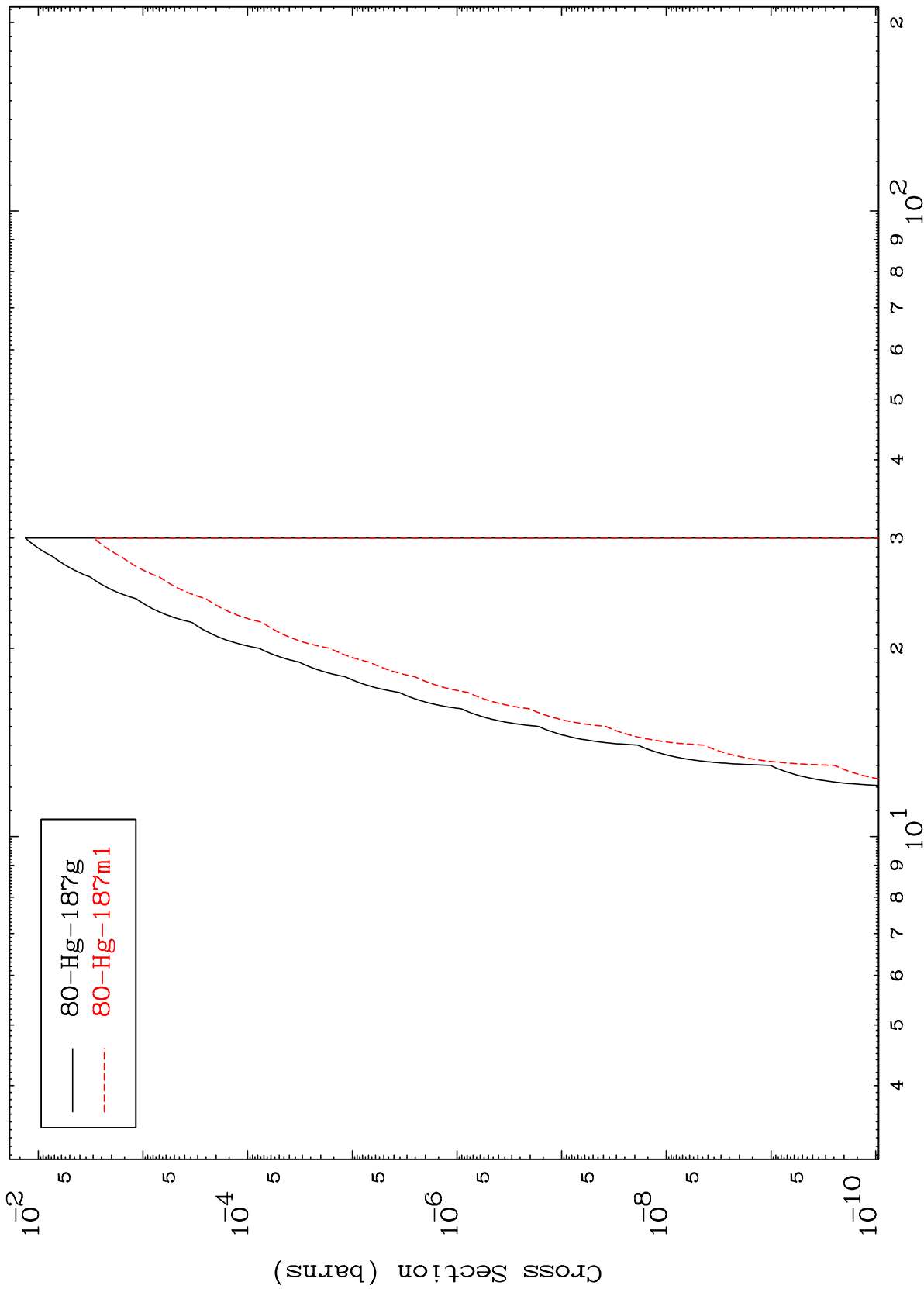
81-Tl-191

MAT 8090

(d,2n) α

81-Tl-191

Radionuclide Production Cross Section



15

Incident Energy (MeV)

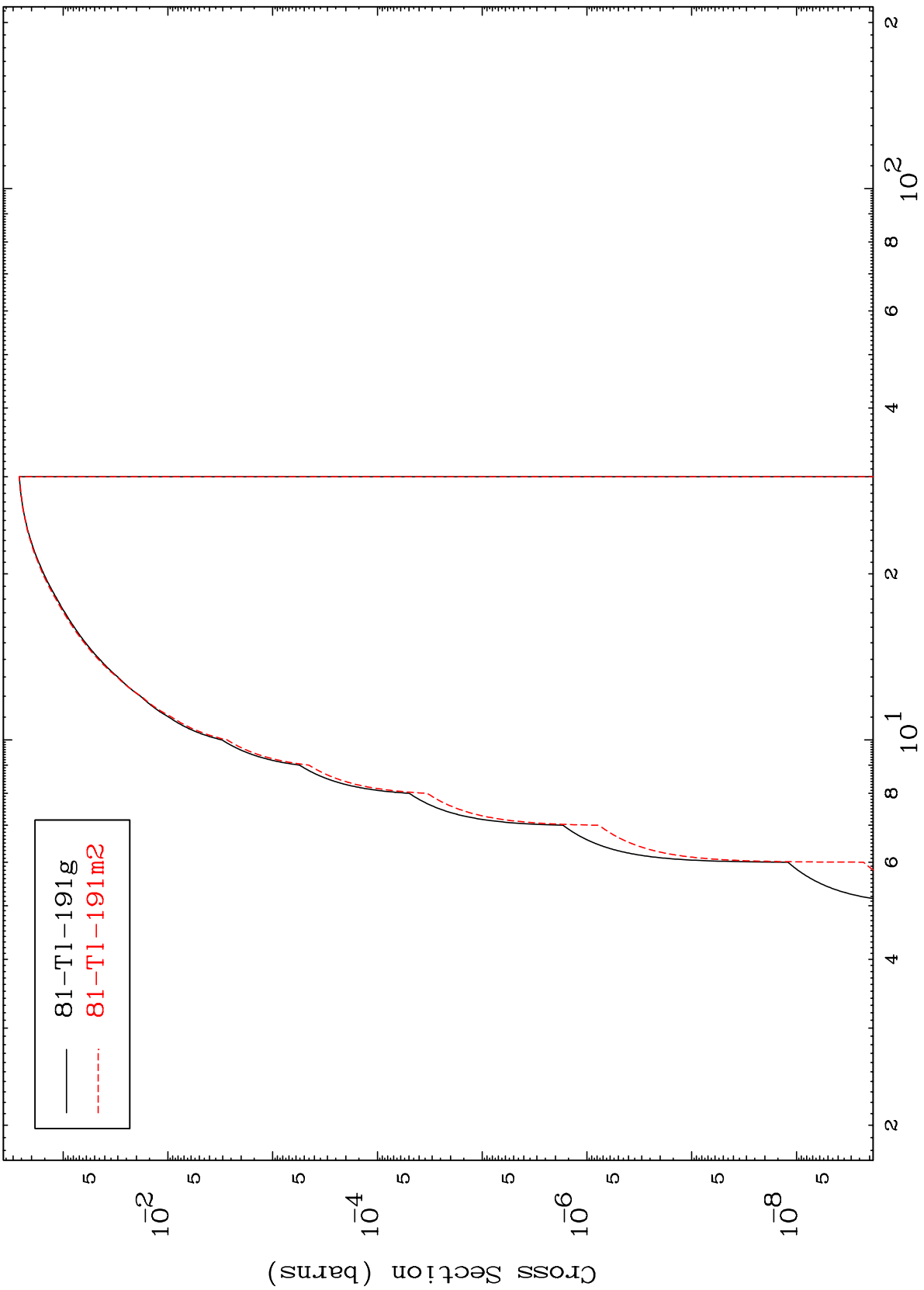
81-Tl-191

MAT 8090

(d,n') p

81-Tl-191

Radionuclide Production Cross Section



16

Incident Energy (MeV)

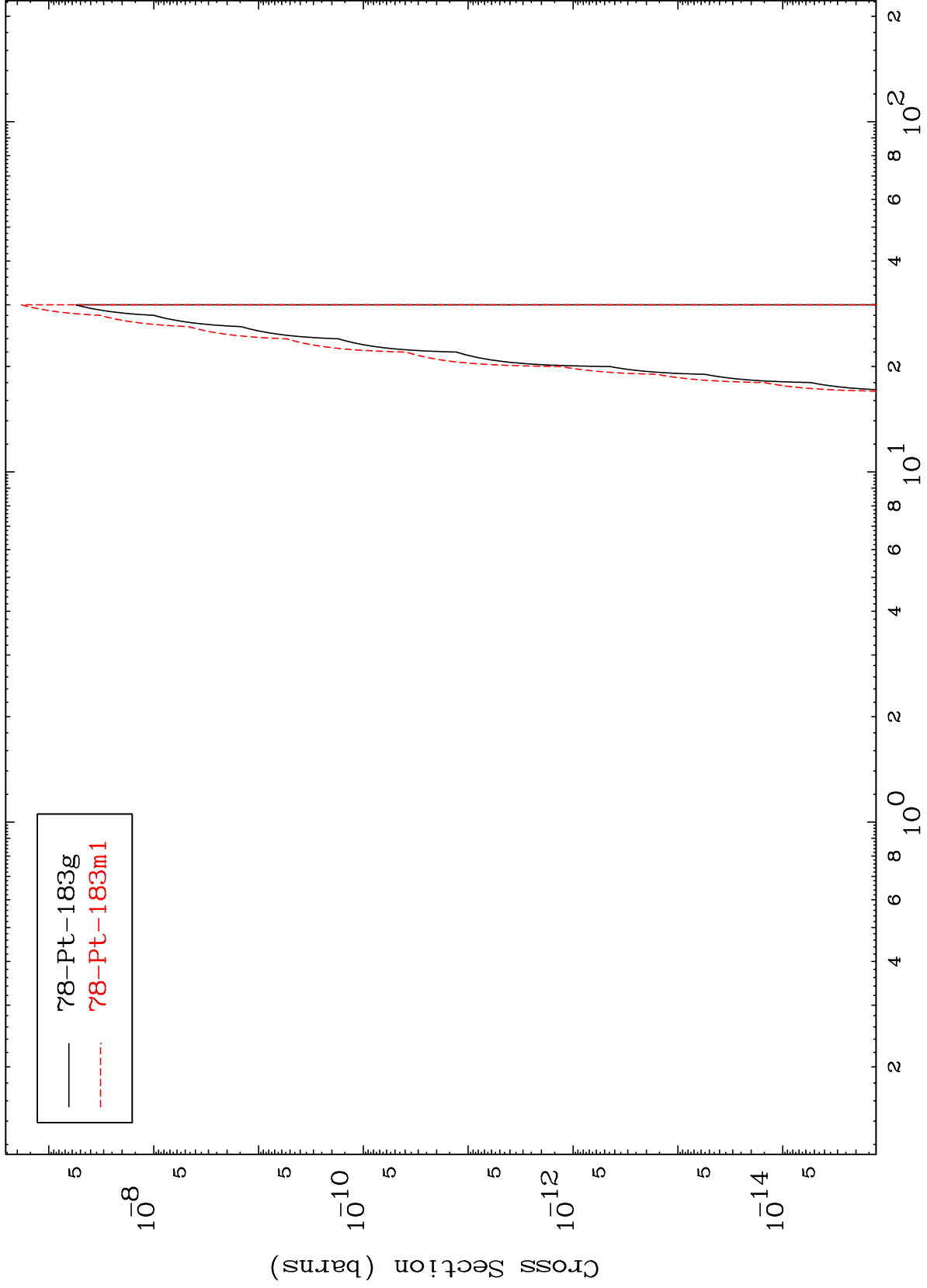
81-Tl-191

MAT 8090

(d,2n) 2α

81-Tl-191

Radionuclide Production Cross Section

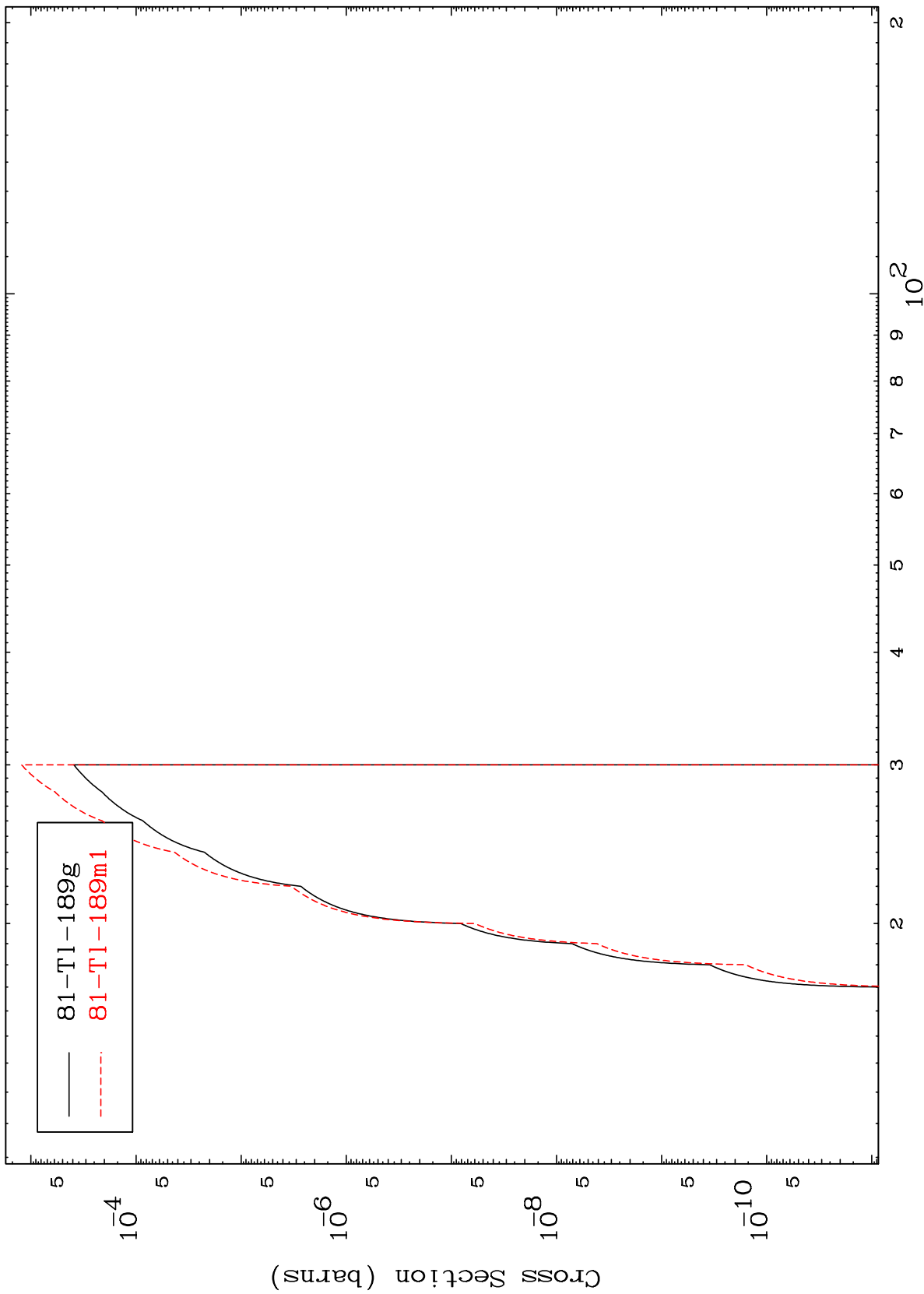


MAT 8090

(d,n') t

81-Tl-191

Radionuclide Production Cross Section



18

Incident Energy (MeV)

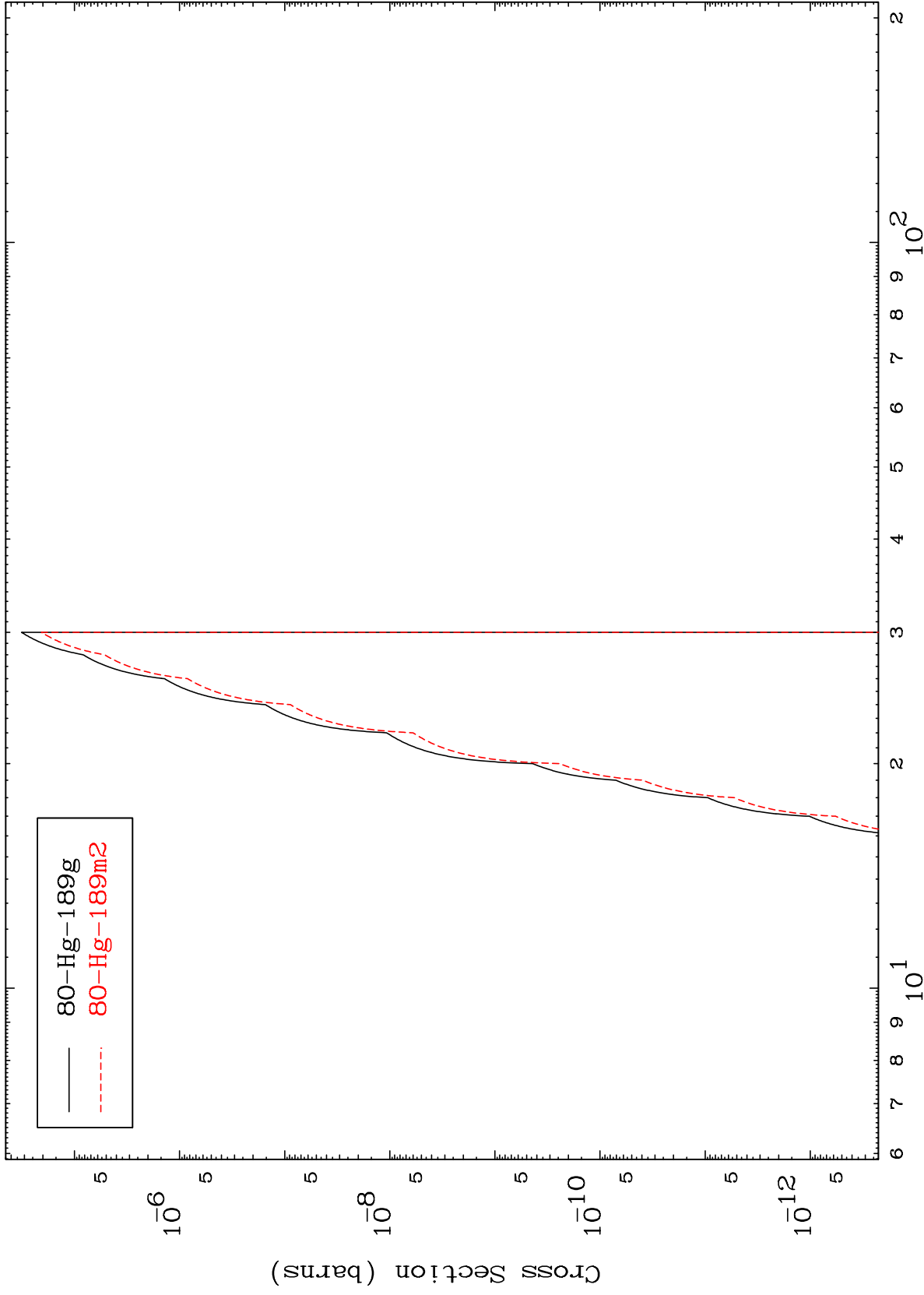
81-Tl-191

MAT 8090

(d,n') He-3

81-Tl-191

Radionuclide Production Cross Section



80-Hg-189g
80-Hg-189m2

19

Incident Energy (MeV)

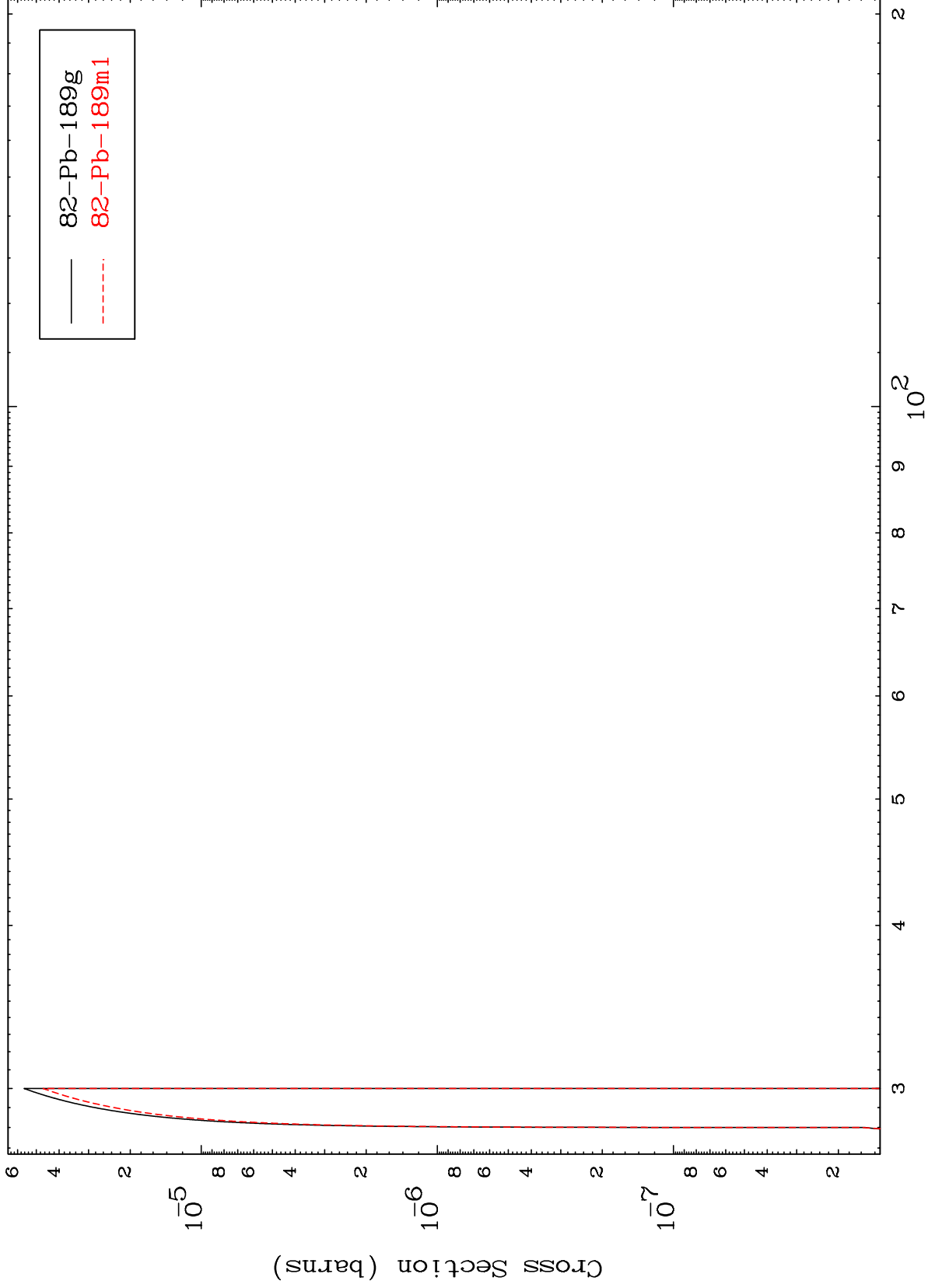
81-Tl-191

MAT 8090

(d,4n)

81-Tl-191

Radionuclide Production Cross Section



20

Incident Energy (MeV)

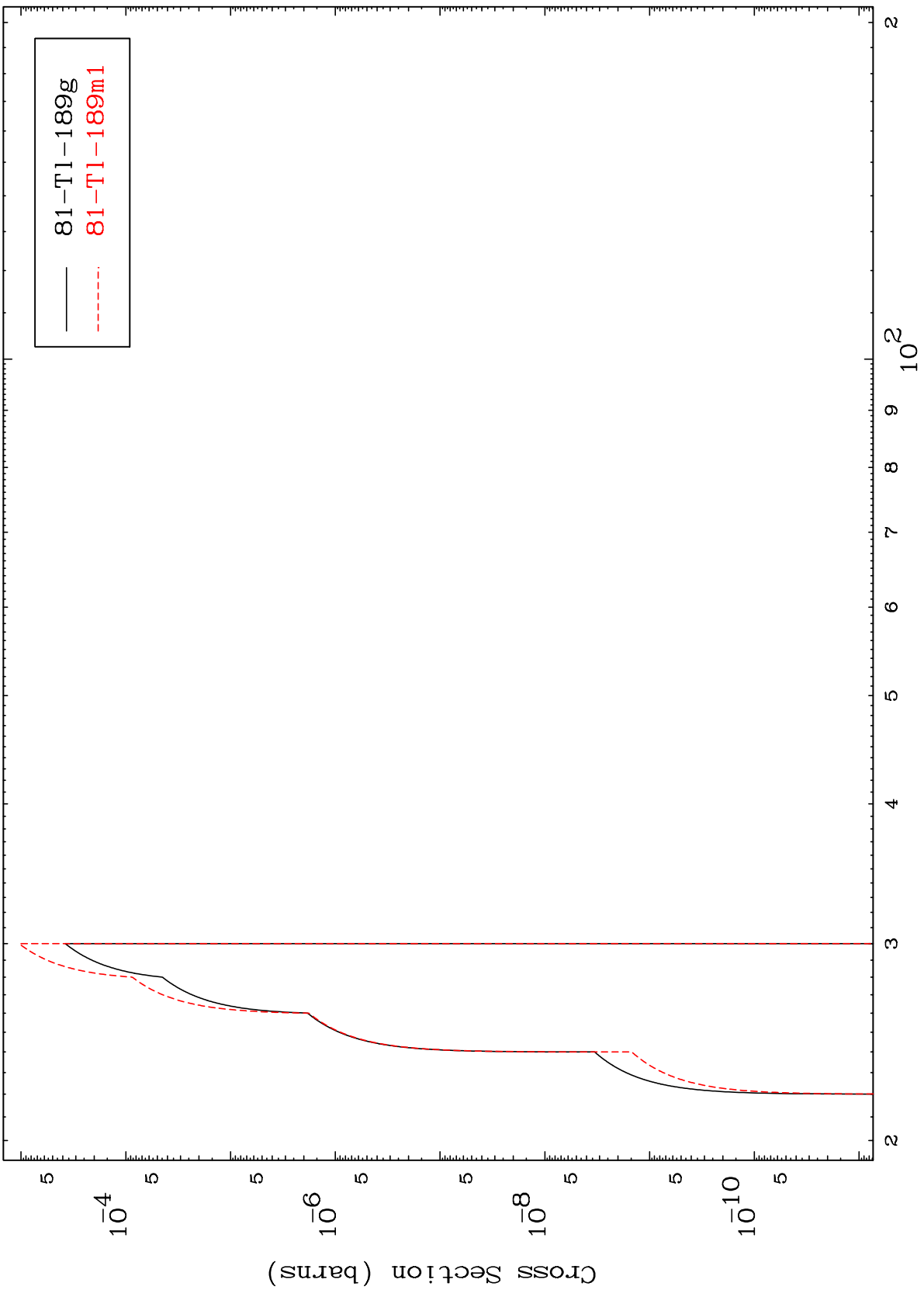
81-Tl-191

MAT 8090

(d,3n) p

81-Tl-191

Radionuclide Production Cross Section



21

Incident Energy (MeV)

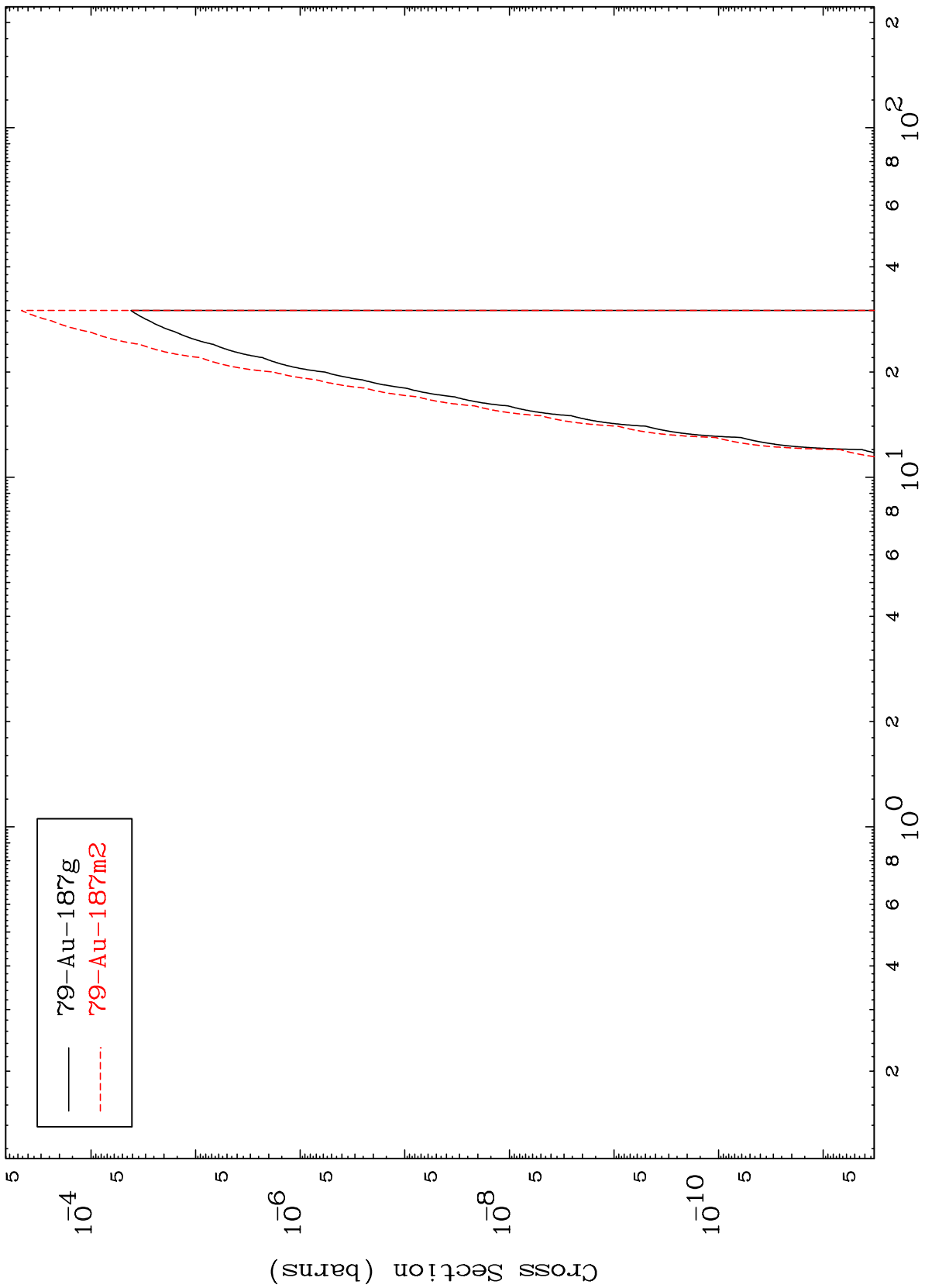
81-Tl-191

MAT 8090

(d,n') p α

81-Tl-191

Radionuclide Production Cross Section



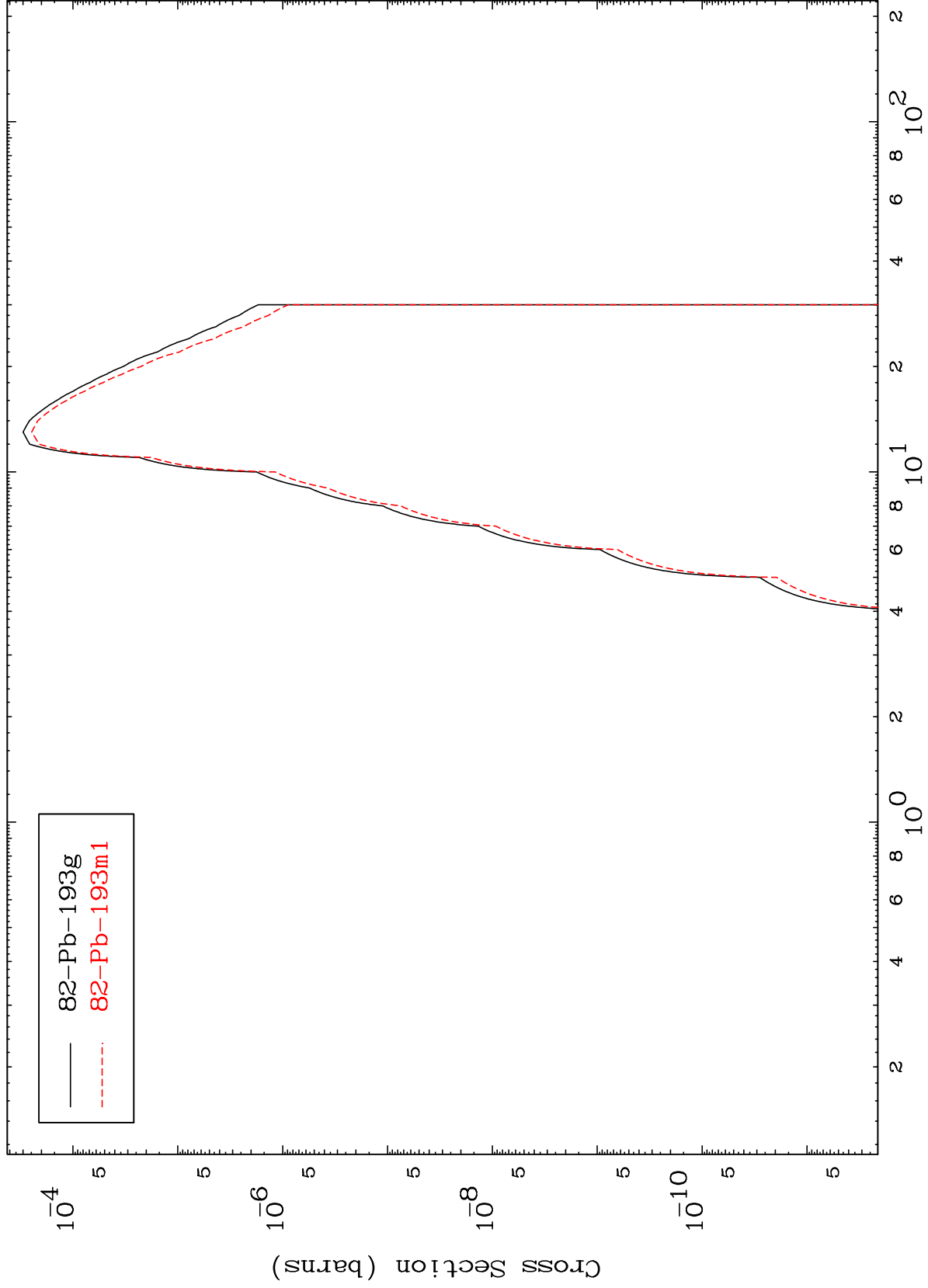
79-Au-187g
79-Au-187m2

MAT 8090

(d, γ)

81-Tl-191

Radionuclide Production Cross Section



23

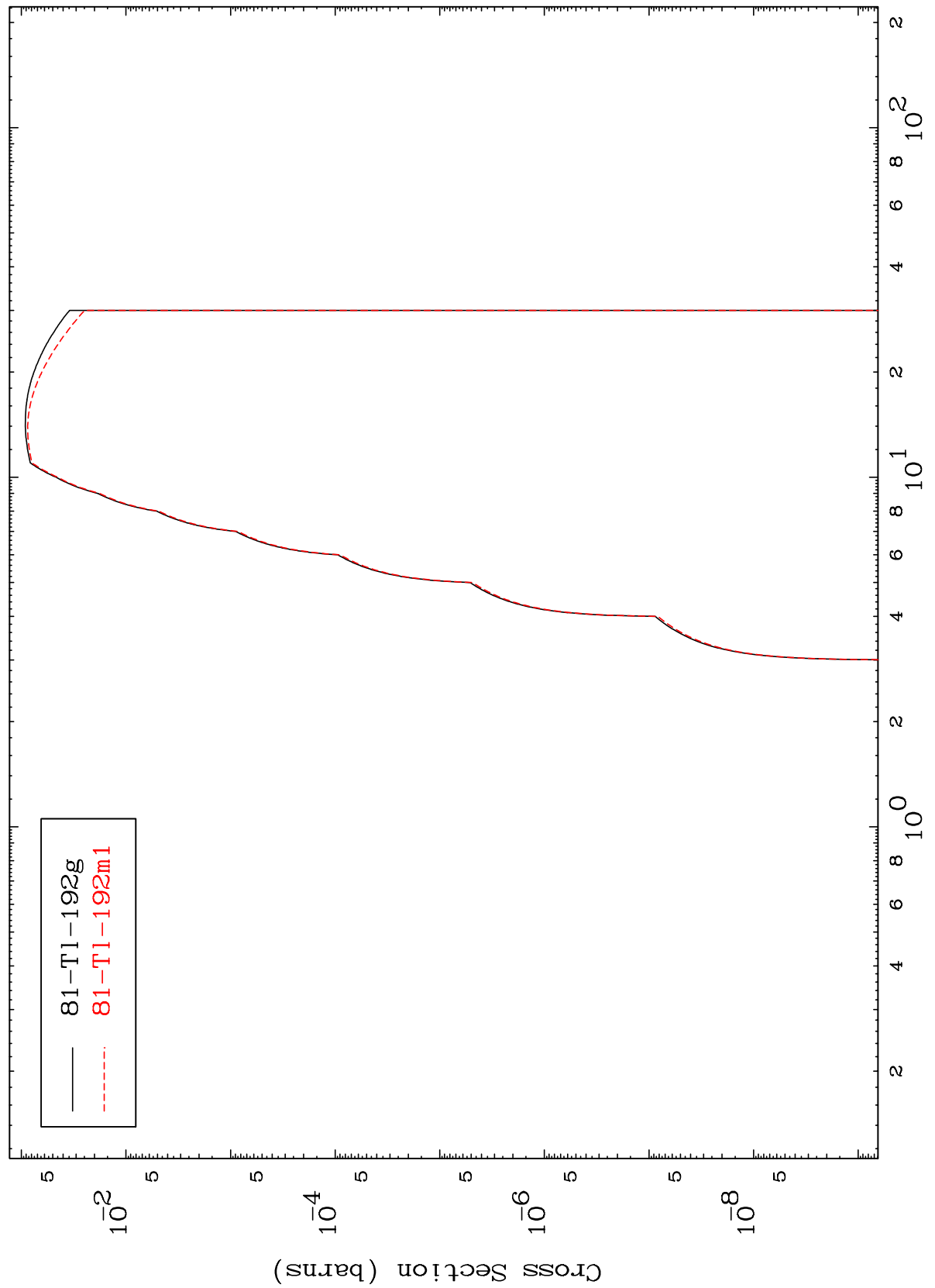
Incident Energy (MeV)

81-Tl-191

MAT 8090

81-Tl-191

(d,p)
Radionuclide Production Cross Section



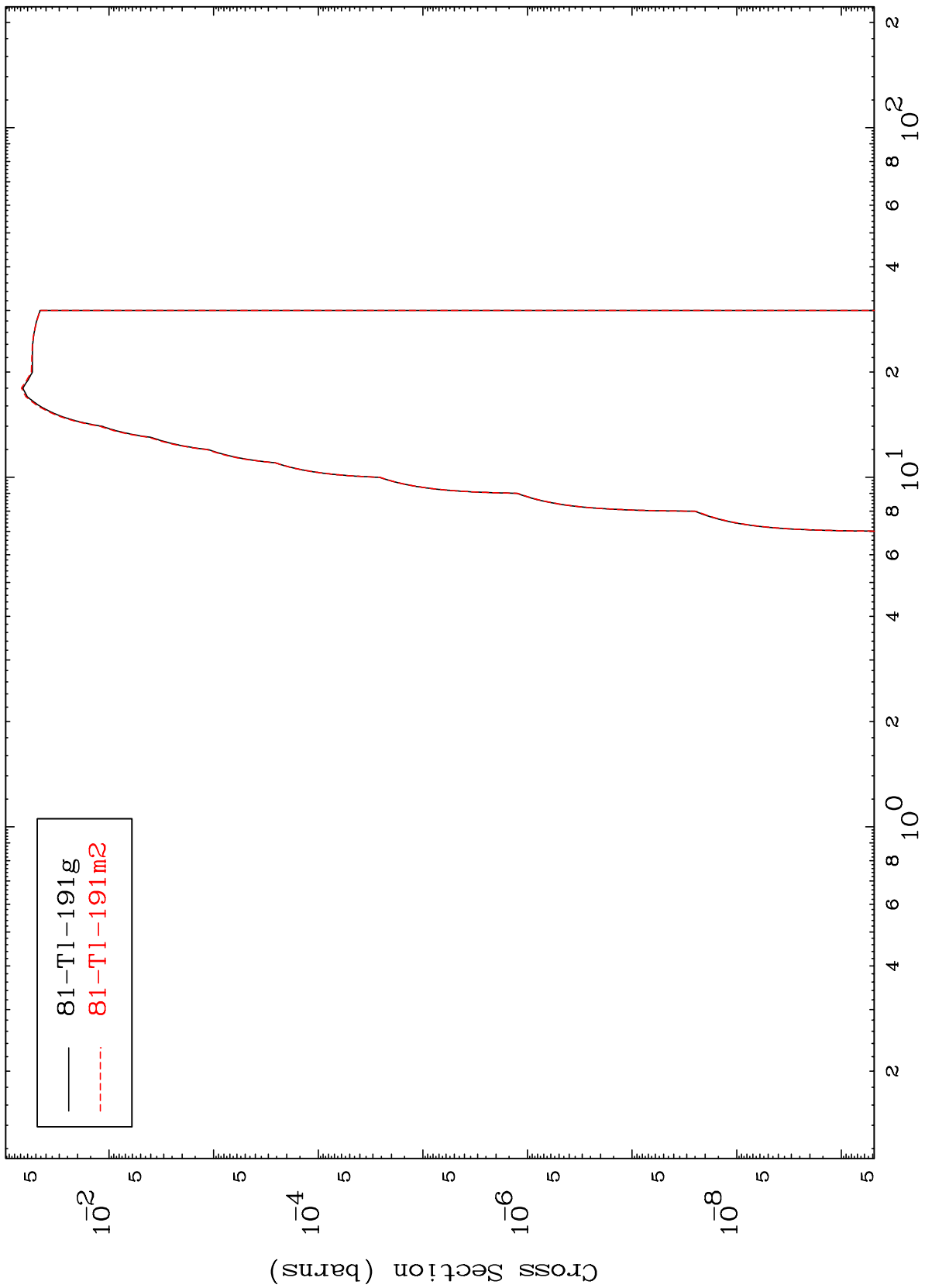
81-Tl-192g
81-Tl-192m1

MAT 8090

(d,d)

81-Tl-191

Radionuclide Production Cross Section



25

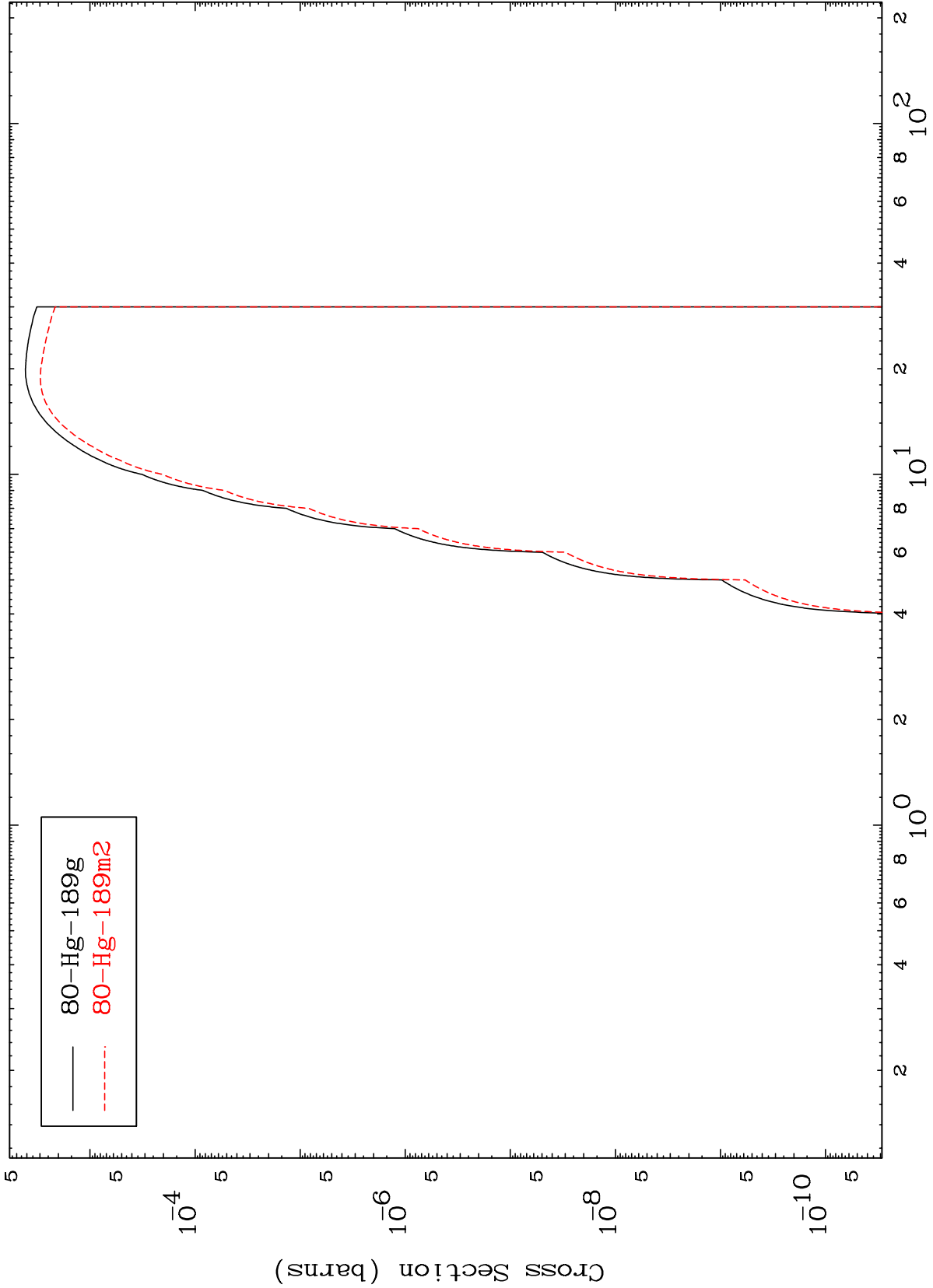
Incident Energy (MeV)

81-Tl-191

MAT 8090

81-Tl-191

Radionuclide Production Cross Section
(d, α)

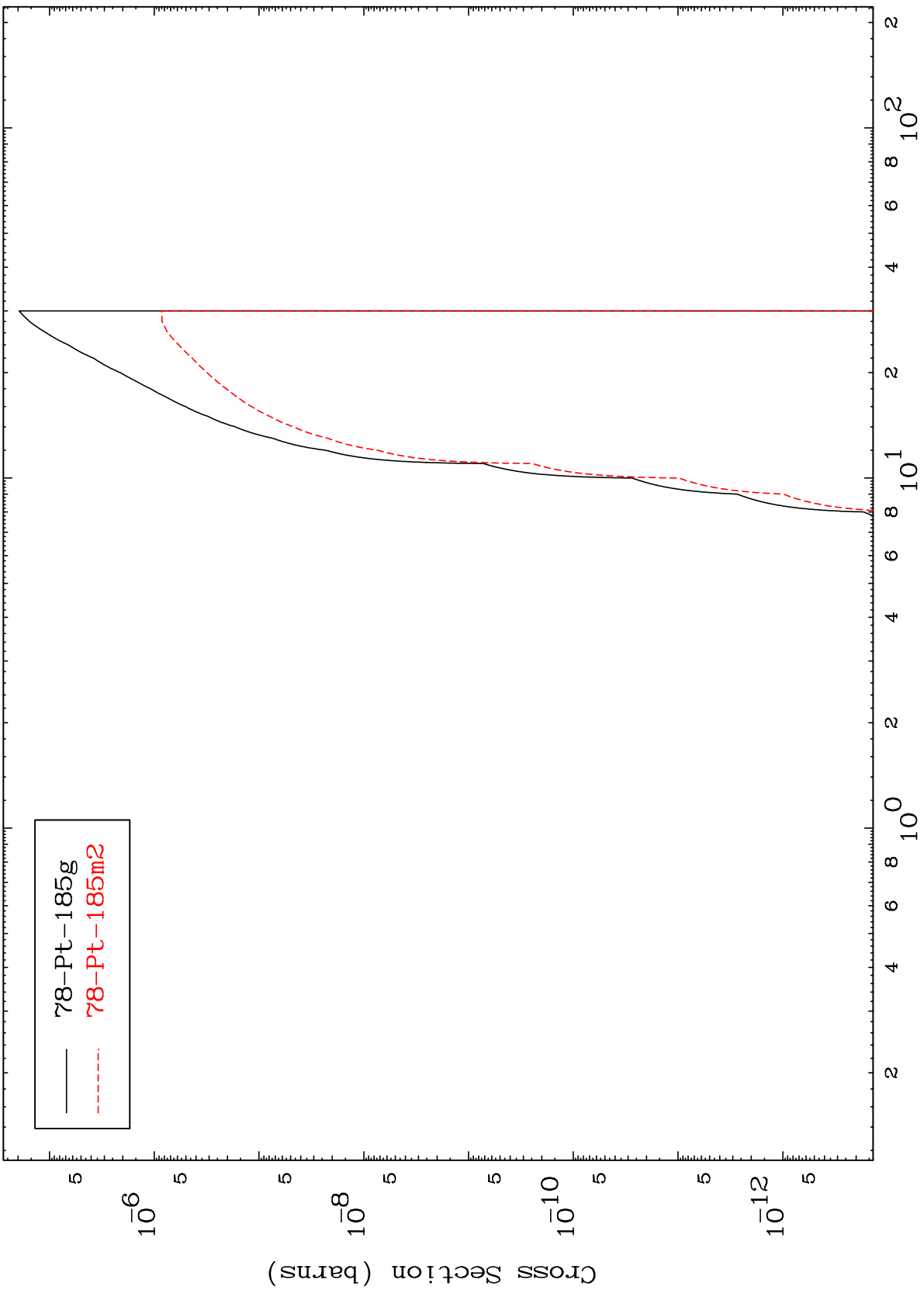


MAT 8090

(d,2 α)

81-Tl-191

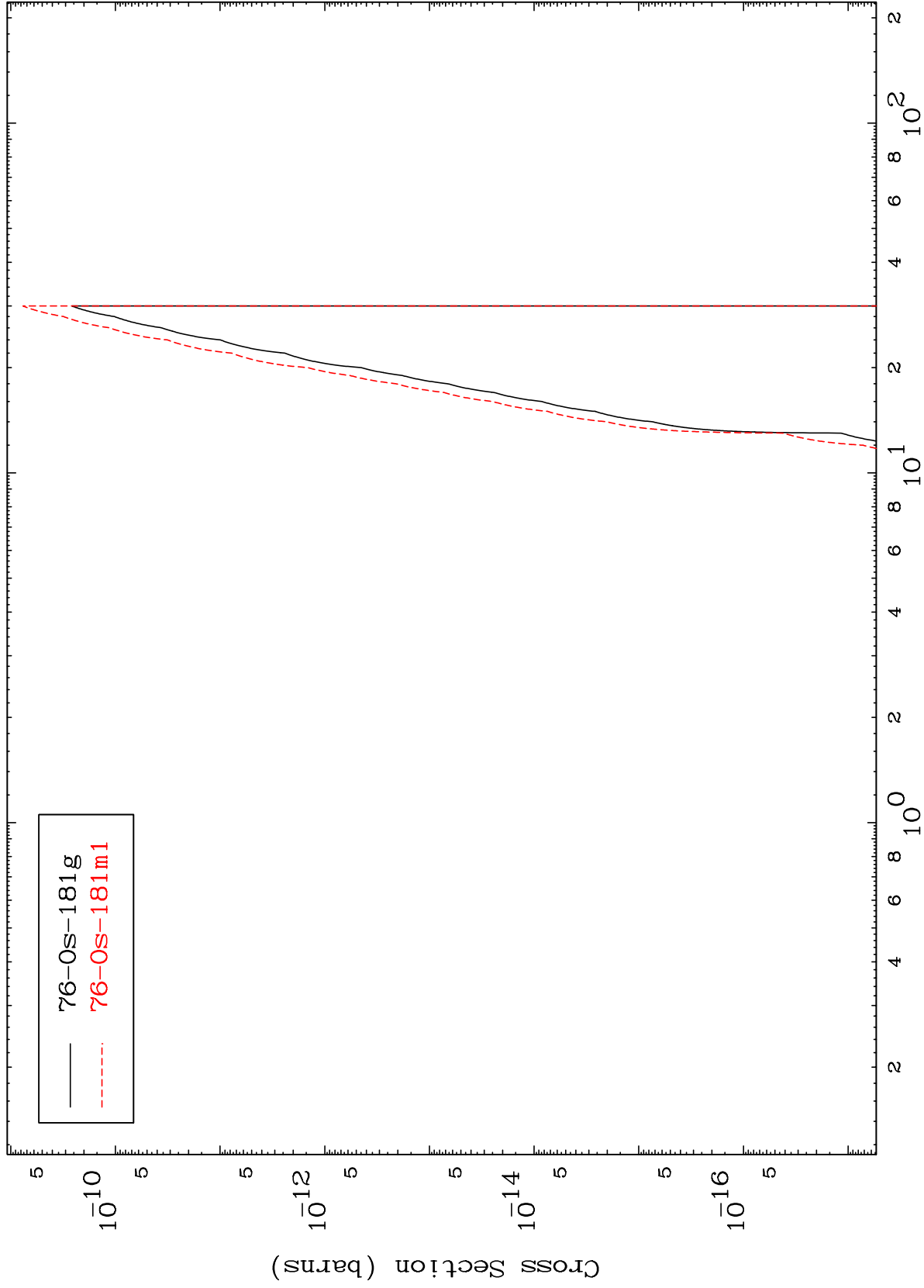
Radionuclide Production Cross Section



MAT 8090

81-Tl-191

(d,3 α)
Radionuclide Production Cross Section

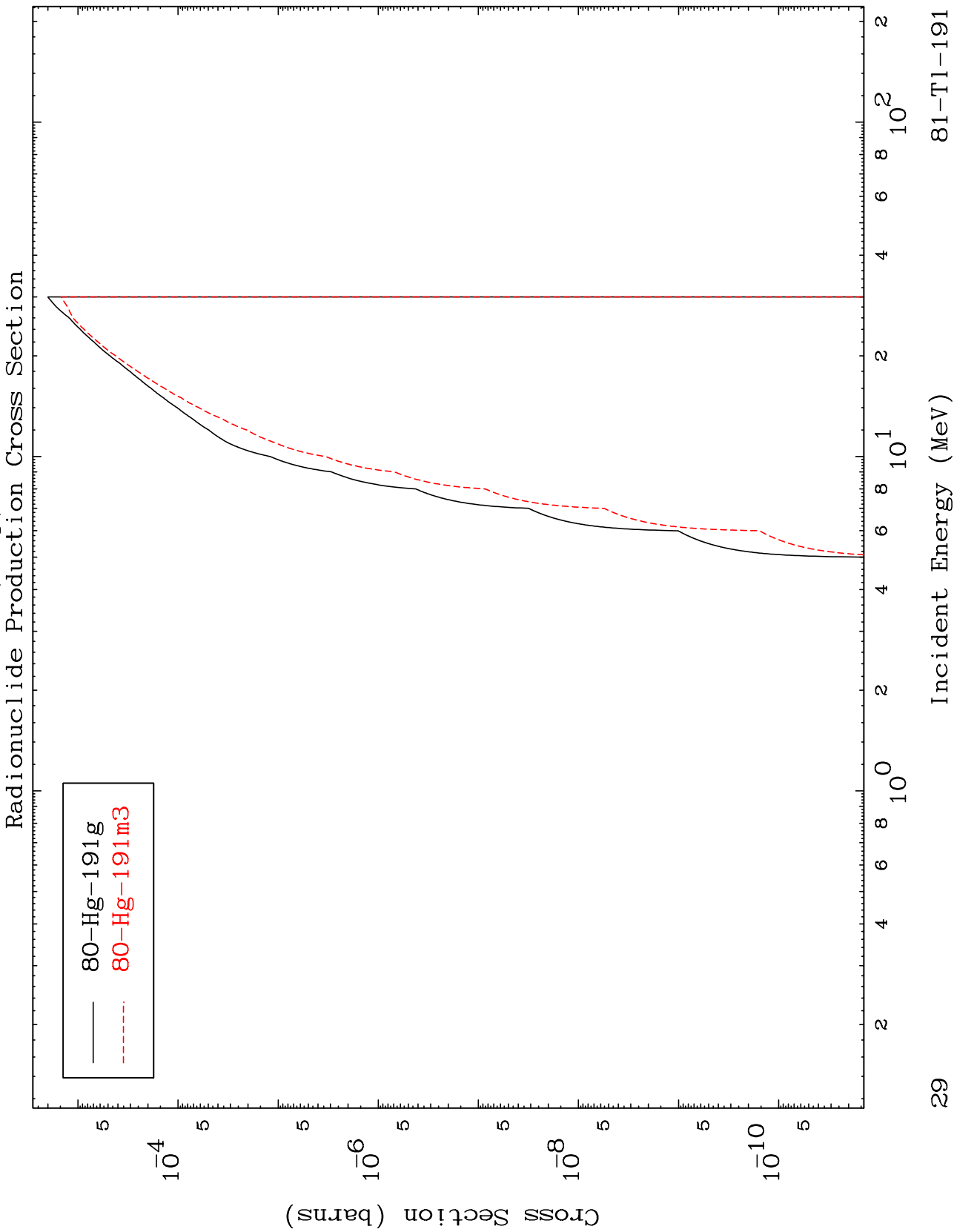


28

81-Tl-191

MAT 8090

81-Tl-191

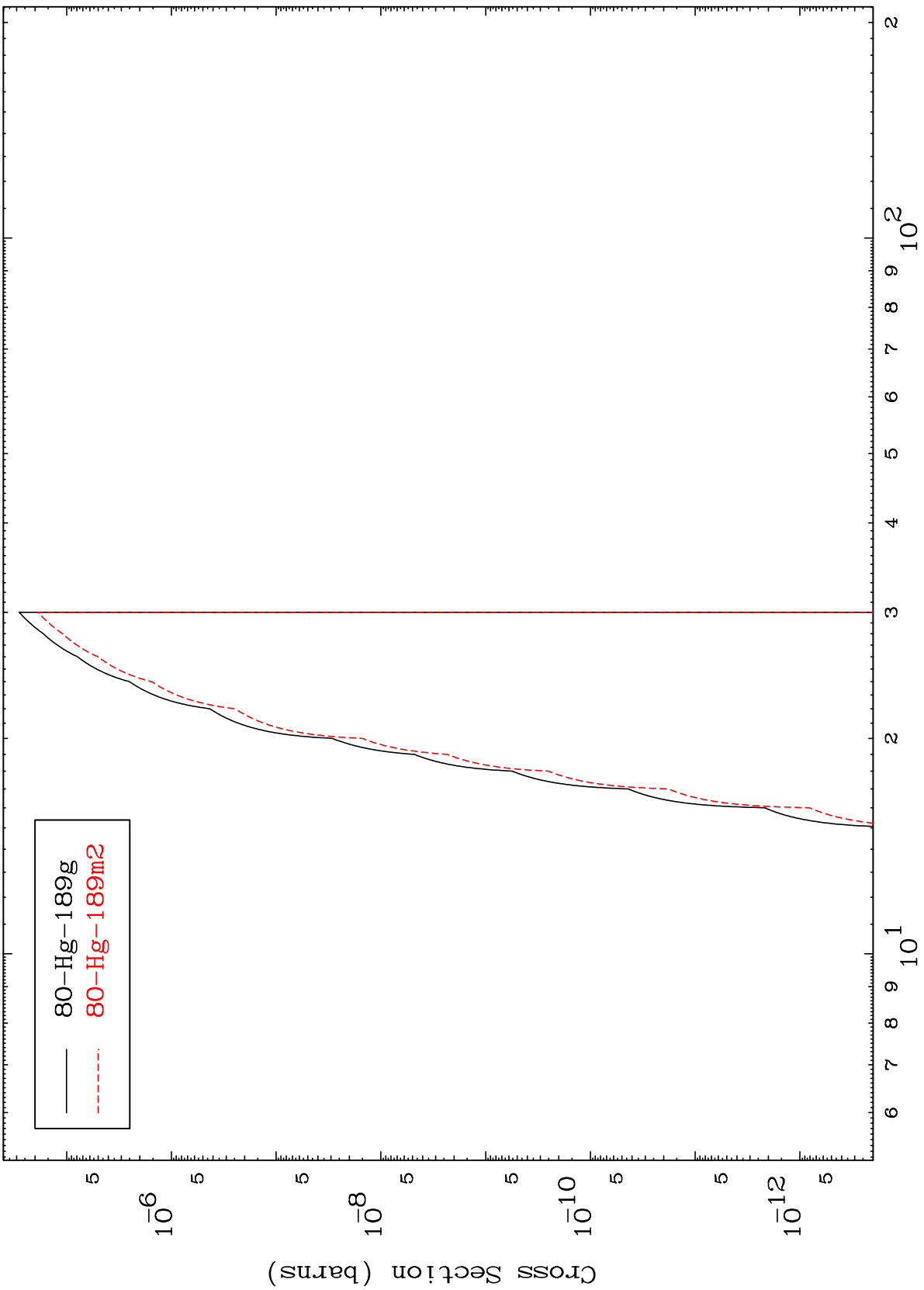


MAT 8090

(d,p) t

81-Tl-191

Radionuclide Production Cross Section



80-Hg-189g
80-Hg-189m2

30

Incident Energy (MeV)

81-Tl-191

MAT 8090

(d,d) α

81-Tl-191

Radionuclide Production Cross Section

